



## بررسی نقش جدایش بلوری، آلایش پوسته‌ای و آمیختگی ماقمایی در تشکیل توده‌های نفوذی میزان فیروزه در معدن فیروزه-طلای دامغان، جنوب دامغان

امیر امام جمعه<sup>\*</sup>، احمد جهانگیری، محسن مؤذن

گروه علوم زمین، دانشکده علوم طبیعی، دانشگاه تبریز، تبریز، ایران

(دریافت مقاله: ۹۹/۳/۳۱، نسخه نهایی: ۹۹/۷/۱۲)

چکیده: توده‌های نیمه عمیق دیوریتی، گرانودیوریتی و گنبد ریولیتی در معدن فیروزه-طلای دامغان به سن ائوسن در غرب کمربند ماگمایی ترود-چاه شیرین، توالی‌های آتشفشنای ائوسن پیشین را قطع کرده‌اند. نتایج این پژوهش نشان می‌دهد که هر سه توده هم خاستگاه هستند و ماقمای مادر آن‌ها در صعود به دلیل فرآیندهای جدایش بلوری، آلایش پوسته‌ای و آمیختگی ماقمایی سبب ایجاد ماگماهای گرانودیوریتی، دیوریتی و ریولیتی شده است. جدایش الیون، زیرکن، کلینوپیروکسن، پلازیوکلاز-کلسیم و هورنبلند در تشکیل ماقمای گرانودیوریتی نقش مؤثری داشته‌اند. آلایش پوسته‌ای و جدایش آپاتیت و پلازیوکلاز-کلسیم مهمترین نقش را در تشکیل ماقمای ریولیتی داشته است. فلدسپات پتاسیم تا آخرین مراحل جدایش حضور داشته است. در کنار شواهد صحرایی، وجود سوزن‌های آپاتیت، خوردگی و منطقه‌بندی معکوس و نوسانی در پلازیوکلازهای دارای منطقه بندی، نوع برونبووم و شواهد زمین شیمیایی سنگ کل (نسبت‌های Rb/Sr و Rb/Ti/Zr و Rb/Nb/Zr به Rb/Sr و Rb/Nb/Y) آمیختگی ماقمایی بین ماقمای گرانودیوریتی با ماقمایی مافیک را تایید می‌کند.

واژه‌های کلیدی: گرانودیوریت، آمیختگی ماقمایی، جدایش بلوری، آلایش پوسته‌ای، دامغان.

معتقدند که نیروهای کششی در محیطی کششی-جدایشی عامل فعالیت‌های ماقمایی سنجنگاری این کمان است [۶-۸]. در جدیدترین پژوهش، فعالیت ماقمایی منطقه در ارتباط با فرآیندهای ماقمایی پسا برخوردي اقیانوس تتیس جوان در نظر گرفته شده است [۹]. در این پژوهش، ما بر پایه بازدیدهای صحرایی، سنجنگاری، شیمی سنگ کل و شیمی کانی پلازیوکلازهای دارای منطقه‌بندی نقش فرآیندهای تبلور جدایشی، آلایش و آمیختگی ماقمایی را در تشکیل ماگماهای گرانودیوریتی، دیوریتی و ریولیتی بررسی کردیم.

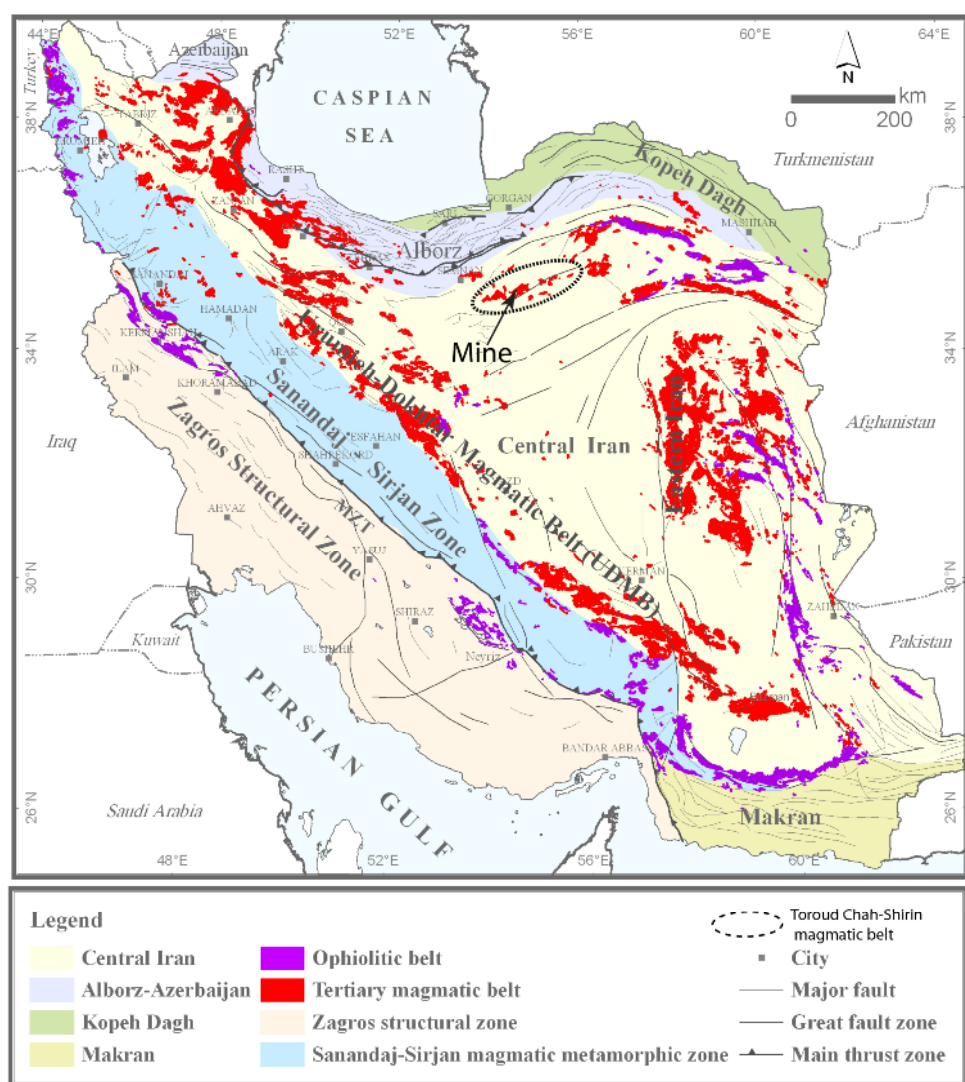
### روش پژوهش

بر پایه داده‌های پیشین، بررسی‌های صحرایی با برداشت ۲۰۰ نمونه سنگی (با تمرکز بر توده‌های نیمه عمیق میزان

### مقدمه

منطقه مورد بررسی با نام اصلی معدن فیروزه-طلای دامغان (با کوه زر و یا باغو) در استان سمنان و در ۹۰ کیلومتری جنوب شهر دامغان قرار دارد و از راه آسفالته دامغان-سرکویر می‌توان به این منطقه دسترسی داشت. جایگاه منطقه در نقشه فعالیت ماقمایی ایران [۱] در شکل مشخص شده است (شکل ۱). این منطقه در کمان آتشفشنان-نفوذی ترود-چاه شیرین و در نقشه ۱:۲۵۰۰۰۰ [۲]، در رخمنهای آتشفشنای-برشی داسیتی و در نقشه ۱:۱۰۰۰۰۰ معلمان [۳]، در سنگ‌های داسیتی و داسیتی-آنزیتی دگرسان شده [۴، ۵] و توده کوارتز دیوریت و کوارتز مونزودیوریت قرار دارد. بر پایه پژوهش‌های سنگ‌شناسی، عمق جایگیری توده‌های نیمه عمیق این کمان دو تا سه و نیم کیلومتر برآورد شده است برخی پژوهش‌گران

\*نویسنده مسئول، تلفن: ۰۹۱۲۴۳۹۴۳۸۲، نامبر: ۰۴۱۳۳۵۶۰۳۱، پست الکترونیکی: amiremamj@yahoo.com



شکل ۱ موقعیت منطقه مورد بررسی و معدن فیروزه- طلای دامغان (علامت پیکان) و کمان آتشفشاری- نفوذی ترود چاه شیرین (منحنی خط چین) در نقشه فعالیت ماقمایی ایران برگرفته از مرجع [۱] با تغییرات جزئی.

عناصر خاکی نادر از تجزیه شیشه‌های ذوب شده همگن به روش LA-ICP-MS در انجمن علوم زمین، دانشگاه لوزان سوئیس به دست آمد. برای اندازه‌گیری مواد فرار (LOI)، ۲ گرم از پودر هر نمونه به مدت ۴ در کوره الکتریکی ساعت ۸۵۰ درجه سانتیگراد قرار داده شد. بهسازی داده‌های LA-ICP-MS با نرم افزار LAM انجام شد. سه عنصر فرعی Ga، V و Cu از نتایج تجزیه XRF (قرص فشرده) برداشت شد. شیشه همگن شده استاندارد SRM 612 به عنوان استاندارد خارجی LA-ICP-MS در نظر گرفته شد. تجزیه نقطه‌ای پلازیوکالزهای دارای منطبقبندی با ریز پردازشگر الکترونی EPMA مدل JEOL JXA-8530F-Hyperprobe بر مقاطع نازک- صیقلی پوشش داده شده با گرافیت، در همان مرکز

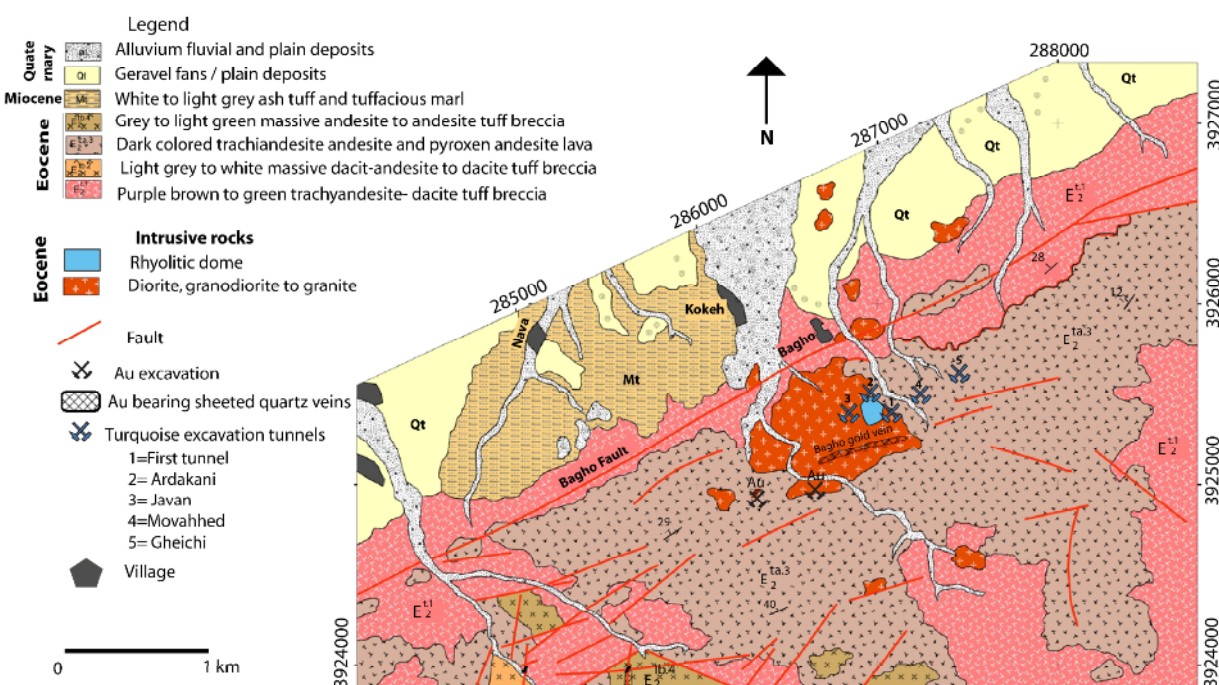
کانی‌سازی فیروزه) انجام شد. پس از تهیه ۶۰ مقطع نازک و نازک- صیقلی و بررسی سنگنگاری آنها، تعداد ۳۳ نمونه سالم و بدون هیچ اثر کانه‌سازی (حتی در مقیاس میکروسپوی)، برای تجزیه شیمیایی به روش‌های طیف سنجی فلئورسانس پروتوی x (XRF) با دستگاه (PANalytical Axios<sup>MAX</sup>) و (Agilent 7700) با LA-ICP-MS (Agilent 7700) انتخاب شدند. ۵۰ تا ۱۰۰ گرم از هر نمونه با چکش هیدرولیکی خرد و با هاون عقیق پودر شده (کوچکتر از ۱۰۰ میکرومتر) و سپس از آنها قرص فشرده و نیز قرص‌های شیشه‌ای همگن تهیه شد. داده‌های مربوط به اکسیدهای اصلی از تجزیه شیشه‌های ذوب شده همگن (ذوب لیتیوم متا بورات) و عناصر فرعی حاصل تجزیه قرص‌های فشرده هر دو به روش XRF و داده‌های مربوط به

گرانودیوریتی تا کوارتزمنزونیتی. رنگ نمونه دستی این سنگ‌ها خاکستری روشن است و درشت بلورهای فلذسپات در آن دیده می‌شود. این توده به ویژه در بخش غربی منطقه دارای برونبوم‌های ریزبلور مافیک فراوان است (شکل‌های ۳ الف تا ج). ۲- توده‌های نفوذی کوچک ریز بلور و گاهی پورفیری با ترکیب صحرایی دیوریت که در توده گرانودیوریتی نفوذ کرده‌اند. رنگ رخنمون و نمونه دستی این سنگ‌ها خاکستری-سبز است و بلورهای پلاژیوکلاز به راحتی در آن دیده می‌شود (شکل‌های ۳ الف تا پ). ۳- توده نفوذی کوچک گنبدهای شکل با بافت پورفیری و ترکیب صحرایی ریولیت که فقط در یک بخش از منطقه (حفره روباز قدیمی استخراج فیروزه) رخنمون دارد و توده گرانودیوریتی را قطع نموده است. رنگ این توده سفید تا کرم روشن است و بلورهای فلذسپات و تورمالین افshan و شعاعی در آن دیده می‌شوند (شکل‌های ۳ الف، ح و خ). در این توده، هیچ برونبوم مرز با توده دیوریتی دیده نشد. ۴- دایک‌های مافیک به عرض نیم تا سه متر و رگه‌های تورمالین-کوارتز به عرض ۱۰ تا ۱۷۰ سانتی‌متر آخرین تظاهرات ماقمایی-گرمایی منطقه هستند [۱۴، ۱۳]. شاهدی برای قطع شدن توده گنبدهای شکل ریولیتی توسط دایک یا رگه‌های کوارتز-تورمالین دیده نشد.

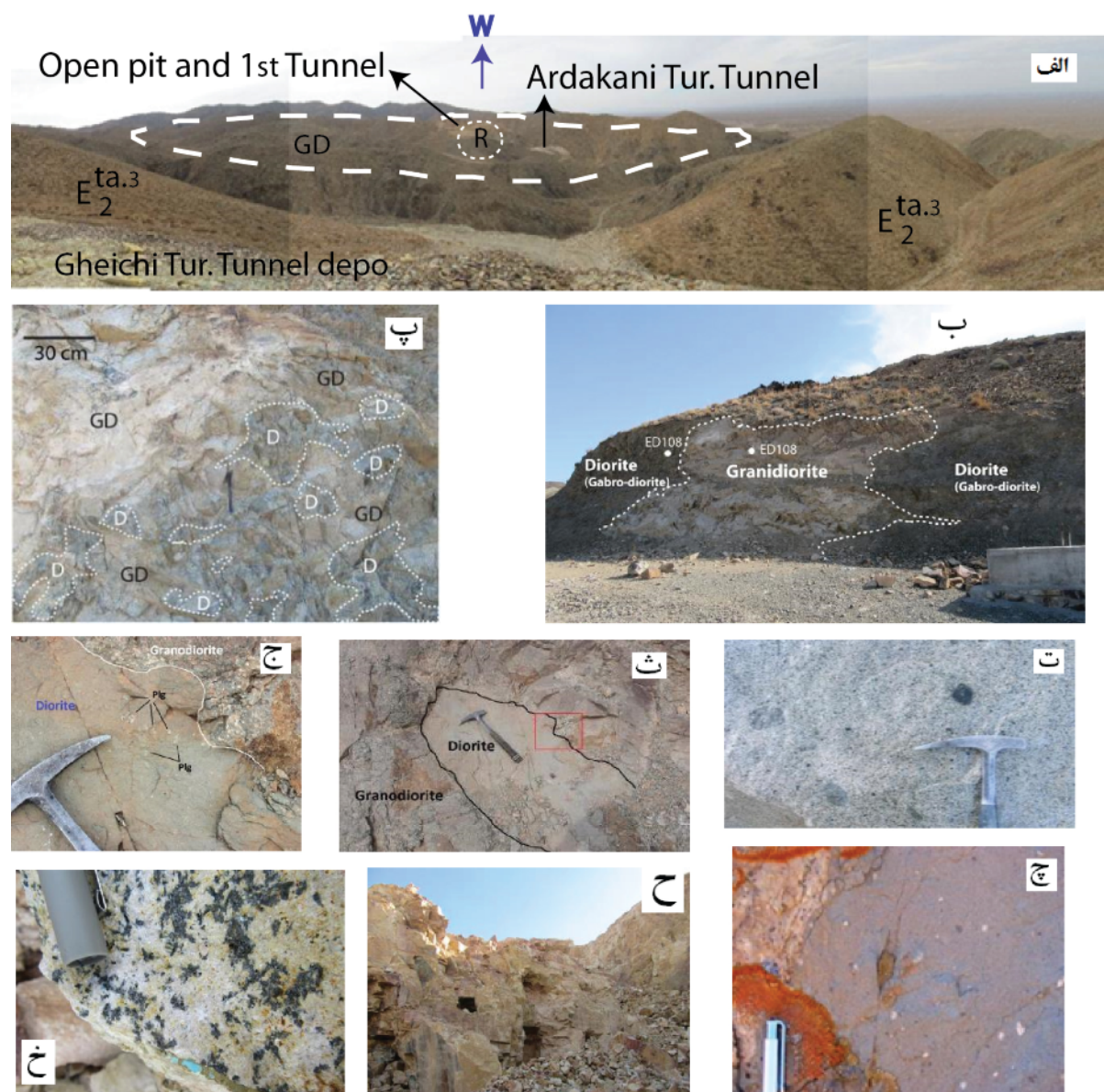
صورت گرفت. محاسبات عنصرسنجی پلاژیوکلازها بر پایه اکسیژن ۸ انجام شده است.

#### زمین‌شناسی منطقه

منطقه مورد بررسی در کمان آتشفسان-نفوذی ترود چاه شیرین و در پهنه ساختاری شامل ایران میانی یا پهنه گذر ایران مرکزی-البرز جای دارد [۱۰]. این کمان در نقشه ۱:۲۵۰۰۰۰ ترود [۲] و منطقه در نقشه ۱:۱۰۰۰۰۰ معلمان [۳] قرار دارد. کمان ترود-چاه شیرین شامل توالی‌های رسوبی و سنگ‌های دگرگونی پرکامبرین تا رسوب‌های تخریبی و تبخیری میوسن به همراه رخساره‌های آتشفسانی ائوسن و توده‌های نفوذی عمیق تا نیمه‌عمیق گرانودیوریتی، گرانایتی و مونزونیتی ائوسن-الیگوسن است. دایک‌های مافیک و فلزی آخرین تظاهرات ماقمایی این کمان هستند [۲]. این کمان در مرز بین گسل ترود در جنوب و گسل ریابی-کوه زر در شمال قرار دارد [۱۱، ۶]. سنگ میزبان کانه‌زایی فیروزه و طلا توده گرانودیوریتی و گنبدهای ریولیتی و با اهمیت بسیار کمتر توده دیوریتی است. براساس بررسی‌های صحرایی و نتایج پیشین [۱۲، ۹، ۳]، زمان جایگیری توده‌ها را می‌توان از قدیم به جدید به صورت زیر در نظر گرفت (شکل ۲): ۱- توده نفوذی نیمه‌عمیق پورفیری و گاهی عمیق دانه‌ای با ترکیب صحرایی



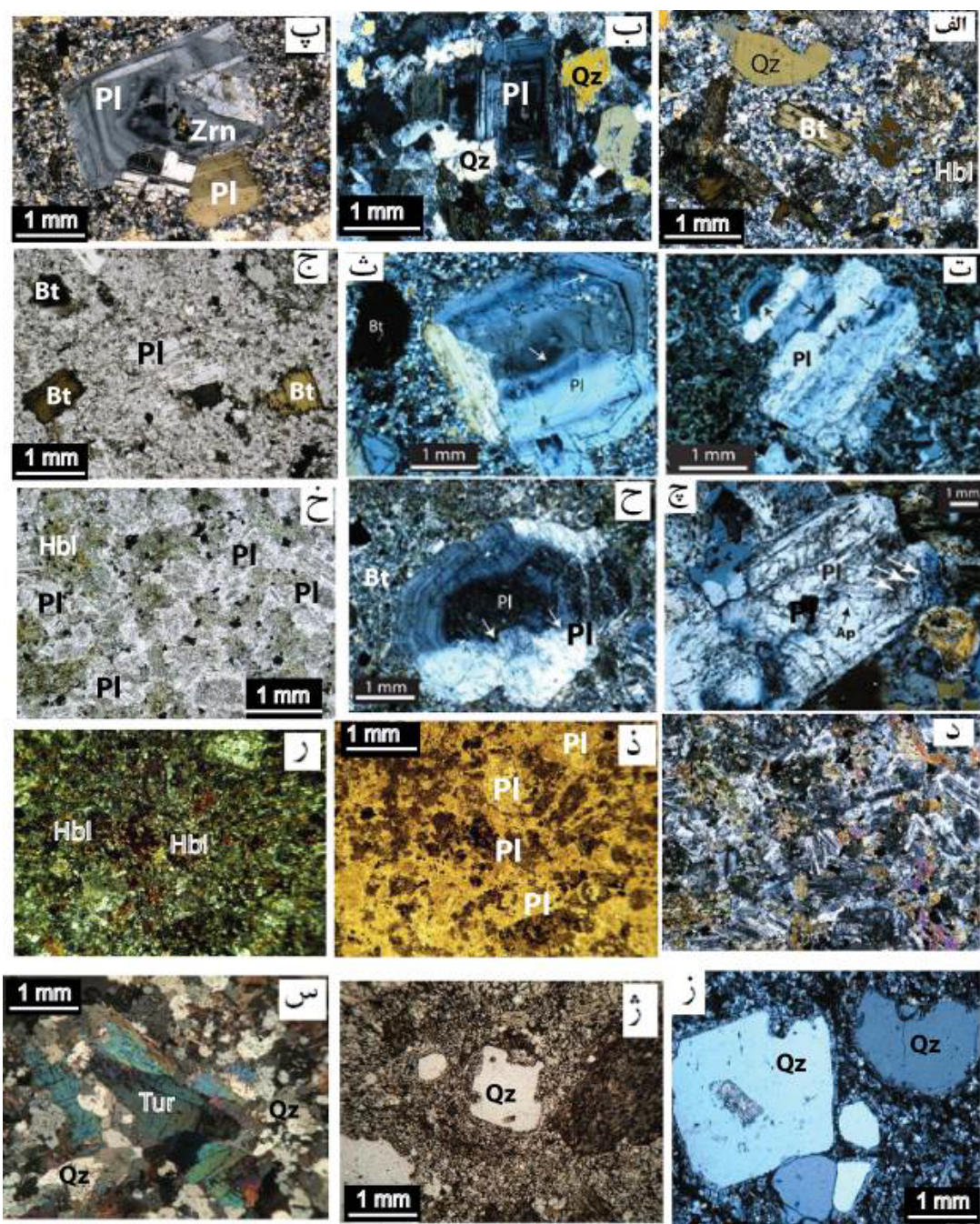
شکل ۲ موقعیت منطقه مورد بررسی در بخشی از نقشه زمین‌شناسی ۱:۴۰۰۰۰ باوغو، دارستان، برگرفته از مرجع [۱۱] با تغییرات.



شکل ۳ الف- نمایی از توده گرانودیوریتی (GD)، توده گنبدهای شکل ریولیتی (R) و سنگ‌های آتشفشنای ائوسن  $E^{tv}$ ، دید از تونل قیچی به سمت غرب و شمال‌غرب. ب- نفوذ توده گرانودیوریتی در توده دیوریتی (نمونه ED108) در محل حفاری‌های قدیمی معدن در جنوب شرق حفره رو باز. پ- توده نیمه عمیق گرانودیوریتی همراه با برونبوم‌های دیوریتی. ت- درشت بلورهای پلازیوکلاز ناتتجانس در برونبوم دیوریتی. ث- نمایی از برونبوم‌های مافیک در توده گرانودیوریت با لبه‌های سینوسی. ج: تصویر بزرگ شده مستطیل قرمز تصویر ث که بلورهای پلازیوکلاز درشت نیز در آن مشخص است. ح- درشت بلورهای پلازیوکلاز توده گرانودیوریتی در برونبوم مافیک. خ- نمایی از توده ریولیتی در محل حفره استخراجی. خ: کانی‌سازی تورمالین شعاعی و رگچه فیروزه در گنبدهای شکل ریولیتی و D=توده گرانودیوریتی (GD = توده گرانودیوریتی، R = توده گنبدهای شکل ریولیتی و D=توده دیوریتی).

حجمی) کانی‌های اصلی را تشکیل می‌دهند (شکل‌های ۴ الف تا ۷). زیرکن و آپاتیت به صورت میانبار کانیابی در پلازیوکلازها و کوارتز دیده می‌شوند (شکل‌های ۴ پ و چ). آثار خوردگی و میانبارهای سوزنی شکل آپاتیت در پلازیوکلازها از ویژگی‌های پلازیوکلازهای این توده است که در بحث آمیزش ماقمایی توضیح داده می‌شود (شکل‌های ۴ ت، ث، چ و ح).

**سنگنگاری**  
گرانودیوریت: توده گرانودیوریت بافتی پورفیری، بلورین و گاهی دانه‌ای همسان‌دانه دارد. پلازیوکلاز (۳۰ تا ۴۰ درصد حجمی و بیشتر دارای منطقه‌بندی و ماکل چند ریخت)، کوارتز (۲۰ تا ۲۵ درصد حجمی)، بیوتیت (۱۰ تا ۲۰ درصد حجمی)، ارتوز (۵ تا ۱۰ درصد حجمی) و مقدار کمی هورنبلند (تا ۵ درصد



شکل ۴. الف: تصویر میکروسکوپی کوارتز، بیوتیت و کمی هورنبلند در زمینه‌ای از کوارتز، پلازیوکلاز و گرانودیوریت در نور قطبیده متقطع (xpl)، ب: تصویری از بخش‌های عمیق توده گرانودیوریتی که بافت دانه‌ای و بلورهای پلازیوکلاز با و بدون منطقه بندی، کوارتز و بیوتیت در آن‌ها مشخص است. پ تا ث: آثار خوردگی و بازجذب در پلازیوکلازهای با منطقه بندی (با پیکان‌های سیاه و سفید) توده گرانودیوریتی، xpl. میانبار پیش‌زاد زیرکن در تصویر پ دیده می‌شود. ج: بلورهای بیوتیت و پلازیوکلاز در زمینه بلورین از کوارتز و پلازیوکلاز نمونه ED181 xpl. ج و ح: آثار خوردگی و بازجذب در پلازیوکلازهای با منطقه بندی (با پیکان‌های سفید) در توده گرانودیوریت. بلورهای سوزنی شکل آپاتیت در تصویر ج دیده می‌شود. (نمونه ED156 ، xpl). خ و د: بلورهای پلازیوکلاز کلسیمی، هورنبلند، کلینوپیروکسن و کمی بیوتیت که سازای اصلی مافیک ترین نمونه توده دیوریتی (دیوریت-گابرو نمونه ED108) است، به ترتیب در نور قطبیده صفحه‌ای (ppl) و (ppl) xpl. ذ و ر: برونبوم دیوریتی در میزان گرانودیوریتی (نمونه ED-174) که شامل پلازیوکلازهای کلسیمی، هورنبلند است. به ترتیب ppl و xpl. ز و ژ: بلورهای کوارتز با لبه‌های خلیجی در زمینه‌ای ریز بلور از کوارتز، پلازیوکلاز و فلدسپات‌پتاسیم در گنبد ریولیتی 5-ED21 xpl. س: بلورهای تورمالین خودشکل در زمینه‌ای از کوارتزهای ثانویه گنبد ریولیتی، Zrn (Zrn)، Pl (پلازیوکلاز)، Qz (کوارتز)، Ap (آپاتیت) و Tur (تورمالین) [۱۵].

می‌گیرند (شکل ۵). افزون بر این نمونه‌ها، تعداد ۷ نمونه از بررسی‌های پیشین [۱۷] در نام گذاری و نمودارهای هارکر [۱۸] استفاده شد که با نشانه متفاوت مشخص شده‌اند. بر  $\text{SiO}_2$  اساس نمودارهای واپتستگی اکسیدهای اصلی با مقدار  $\text{FeO}$ ,  $\text{MgO}$ ,  $\text{TiO}_2$ ,  $\text{Al}_2\text{O}_3$  کاهش یافته و مقدار  $\text{K}_2\text{O}$ ,  $\text{CaO}$ ,  $\text{Mg} \neq \text{Mg}$  و تا اندازه‌ای  $\text{Na}_2\text{O}$  رفتاری کاهشی ولی بی نظم نشان می‌افزایش می‌یابد.  $\text{Eu}$ ,  $\text{Y}$  دهد (شکل ۶). افزایش  $\text{SiO}_2$  با کاهش مقدار عناصر  $\text{A/CNK}$  و  $\text{Sr}$ ,  $\text{Rb}$ ,  $\text{Ce/Yb}$ ,  $\text{La/Yb}$  و نسبت به  $\text{K}_2\text{O}/\text{Na}_2\text{O}$  همراه است. رفتار باریم افزایشی ولی با الگویی نامنظم است. رفتار زیرکونیوم نسبت به تغییرات  $\text{SiO}_2$  الگویی به صورت منحنی زنگوله‌ای شکل را نشان می‌دهد.

مقدار عناصر خاکی نادر نمونه‌ها بهنجار شده به کندریت [۱۹] (شکل‌های ۷ الف تا ت)، نشان می‌دهد که همه نمونه‌ها غنی‌شدگی قابل توجهی در عناصر خاکی نادر سبک (LREE) و غنی‌شدگی جزئی در عناصر خاکی نادر متوسط (MREE) نشان می‌دهند. نسبت به عناصر خاکی نادر سنگین (HREE) نشان می‌دهند. با وجود الگوی نسبتاً مشابه در روند کلی عناصر خاکی نادر (REE)، تفاوت‌هایی نیز دیده می‌شود. نمونه‌های دیوریتی در HREE شباهت بسیاری به میانگین پوسته بالایی قاره‌ای [۲۰] و تا اندازه‌ای بازالت پشتۀ میان اقیانوسی (MORB) نشان می‌دهند، ولی در LREE، غنی‌شدگی آشکاری نسبت به کندریت‌ها، MORB و میانگین پوسته بالایی قاره‌ای دارند. این تهی شدگی از HREE در گرانودیوریت‌ها (شکل ۷ پ) بیشتر و در نمونه‌های ریولیتی (شکل ۷ ت) بسیار بیشتر است. ناهنجاری منفی در  $\text{Eu}$  در نمونه‌های ریولیت بسیار نمایان است، در صورتی که این تهی شدگی در نمونه‌های گرانودیوریتی و دیوریتی دیده نمی‌شود. بیشترین غنی‌شدگی LREE/HREE مربوط به نمونه‌های ریولیتی و کمترین آن مربوط به توده‌های دیوریتی است. همه نمونه‌های ریولیتی ناهنجاری منفی در  $\text{Eu}$  و تفاوت آشکاری در  $\text{Eu}^*/\text{Eu}$  [۰/۵۰ - ۰/۵۱] و مقادیر کلی HREE و MREE با دیگر نمونه‌ها نشان می‌دهند (شکل‌های ۷ الف تا ت). نمودار عنکبوتی بهنجارشده به کندریت [۱۹] نشان می‌دهد که بیشتر عناصر به ویژه  $\text{K}$ ,  $\text{Rb}$ ,  $\text{Th}$  و  $\text{U}$  غنی‌شدگی شدید و عناصر  $\text{Ta}$ ,  $\text{Nb}$ ,  $\text{Ti}$  تهی شدگی دارند (شکل ۷ ث).  $\text{Sr}$  در ریولیت‌ها به شدت تهی شده

دگرسانی‌ها شامل سریسیتی‌شدن فلدسپات، کلریتی‌شدن بیوپیت‌ها و آمفیبول‌ها و کائولینیتی شدن برخی از ارتوپلازه هستند. زمینه ریزبلور ولی کاملاً بلورین شامل کوارتز و پلازیوکلاز است. برونبیوم‌های موجود در این توده ریزبلور، بدون کانی‌های دگرگونی و بدون لبه‌های واکنشی هستند و از دیدگاه سنگ نگاری، بافت و ترکیبی شبیه به نمونه‌های کمتر جدایش یافته و مافیک‌تر توده دیوریتی (نمونه ED108) دارند (شکل‌های ۴ ذ و ر).

دیوریت: کانی‌های اصلی توده دیوریتی شامل پلازیوکلاز (۵۰ تا ۶۵ درصد حجمی)، پیروکسن (۱۰ تا ۲۰ درصد حجمی)، بیوپیت (۵ تا ۱۰ درصد حجمی)، کمی آمفیبول (۲ تا ۵ درصد حجمی) و گاهی کوارتز (تا ۵ درصد حجمی) هستند (شکل‌های ۴ خ و ۵). مرز برونبیوم‌های این توده در گرانودیوریت به صورت منحنی سینوسی و غیر سوخته (غیر واکنشی) دیده می‌شوند. گاهی این توده بافت پورفیری نشان می‌دهد و درشت‌بلورهای پلازیوکلاز توسط کانی‌های پیروکسن و پلازیوکلاز در بر گرفته شده‌اند. از دیدگاه سنگ‌نگاری، این توده از گابرو- دیوریت تا دیوریت کوارتزدار در تغییر است.

**گندی ریولیتی:** کانی‌های تشکیل‌دهنده توده گندی‌شکل ریولیتی شامل کوارتزهای خلیجی (۰ تا ۴۰ درصد)، ارتوپلاز (۰ تا ۳۰ درصد) و پلازیوکلاز (۰ تا ۲۵ درصد) هستند (شکل‌های ۴ ز تا س). بافت این توده پورفیری با درشت‌بلورهای فلدسپات است. کانی تورمالین (افشان و رگچه تورمالین-کوارتز) در بیشتر مناطق توده گندی‌شکل ریولیتی دیده می‌شود (شکل ۴ س). زمینه آن بدون شیشه و ریز بلورتر از زمینه توده گرانودیوریت است. وجود کوارتزهای خلیجی فراوان و تورمالین وجه تفکیک این توده از دیگر سنگ‌های منطقه است.

#### زمین شیمی

نتایج تجزیه زمین شیمیایی ۳۳ نمونه سنگ کل برای عناصر اصلی و فرعی در جدول‌های ۱ و ۲ ارائه شده‌اند. جانمایی نمونه‌ها در نمودار R1-R2 [۱۶] نشان می‌دهد که نمونه‌های دیوریتی در گستره به نسبت وسیعی از گابرو- دیوریت، دیوریت، مونزودیوریت تا مونزونیت قرار دارند. توده گرانودیوریت در گستره گرانودیوریت تا گرانیت و نمونه‌های توده گندی‌شکل ریولیتی در گستره گرانیت (ریولیت) قرار

دارد. تهی شدگی عناصر Ta, Nb و Ti در بهنجارسازی با گوشته اولیه نیز تأیید می‌شود (شکل ۷ج). تهی شدگی Nb و Ta در مقایسه با میانگین پوسته قاره‌ای بالایی (شکل ۷ج) نیز دیده می‌شود [۲۰، ۲۱]. غنی شدگی P و Sr در گرانودیوریت و دیوریت و تهی شدگی شدید آن در ریولیت‌ها نمایان است.

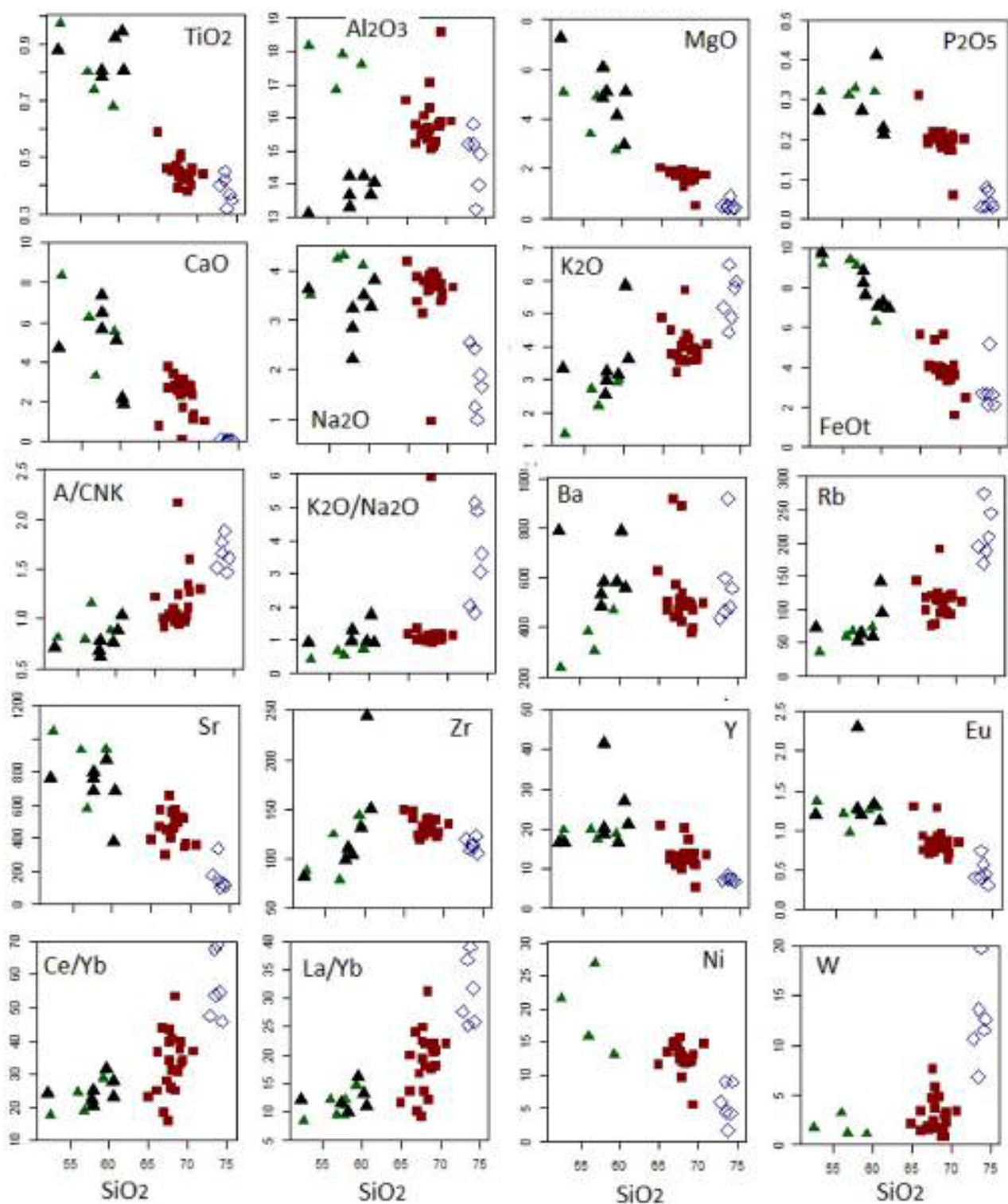
است ولی در بیشتر دیوریت‌ها غنی شدگی نشان می‌دهد همچنین بیشترین غنی شدگی K و Rb و بیشترین تهی شدگی Ti در نمونه‌های ریولیتی دیده می‌شود. بهنجارسازی بر اساس گوشته اولیه [۲۱] (شکل ۷ج)، نیز نشان از تهی شدگی P و غنی شدگی شدید U و Pb و Cs, Rb, Ba, Th, V, Cu در ریولیت‌ها

جدول ۱ نتایج تجزیه شیمیایی سی و سه نمونه سنگی به روش XRF (تجزیه شیشه همگن برای اکسیدهای اصلی و قرص‌های فشرده برای عناصر Ga و V, Cu)

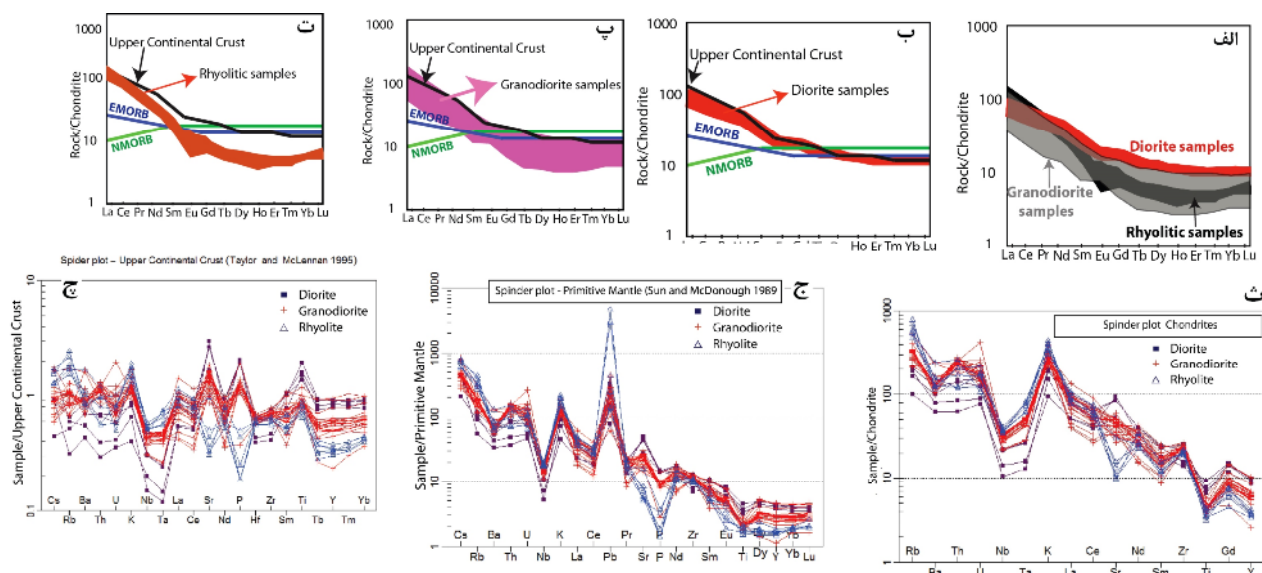
نمونه ۹	واحد بنگ	XRF													Cu ppm	Ga ppm
		SiO <sub>2</sub> %	TiO <sub>2</sub> %	Al <sub>2</sub> O <sub>3</sub> %	Fe <sub>2</sub> O <sub>3</sub> %	MnO %	MgO %	CaO %	Na <sub>2</sub> O %	K <sub>2</sub> O %	P <sub>2</sub> O <sub>5</sub> %	LOI	V ppm			
ED104	D	55,98	0,80	16,84	9,41	0,12	2,39	6,21	4,25	2,72	0,31	1,14	212,60	280,90	19,90	
ED160	D	59,25	0,68	17,59	6,27	0,13	2,75	5,55	4,11	2,90	0,32	1,09	129,90	95,90	19,20	
ED108	D	52,53	0,97	18,17	9,17	0,21	5,05	8,36	3,51	1,36	0,32	1,41	240,90	133,80	21,60	
ED164	D	56,82	0,74	17,92	9,13	0,18	4,89	3,30	4,30	2,19	0,33	2,68	232,30	177,30	18,60	
ED37	GD	68,37	0,42	15,23	3,51	0,06	1,52	2,58	3,95	4,22	0,18	1,37	52,20	152,50	15,10	
ED78-4	GD	69,40	0,46	18,09	1,57	0,01	0,49	1,10	3,46	3,64	0,06	3,69	47,20	70,100	18,30	
ED96	GD	64,97	0,59	16,51	5,62	0,4	2,02	0,78	4,18	4,87	0,31	2,22	123,30	107,20	16,20	
ED102	GD	69,43	0,45	15,86	3,61	0,02	1,71	1,38	3,52	3,85	0,20	1,86	57,80	40,7,70	16,40	
ED107	GD	67,31	0,47	16,04	4,01	0,05	1,91	2,50	3,79	3,05	0,20	1,82	104,10	198,10	18,20	
ED109	GD	68,11	0,42	15,03	3,68	0,07	1,60	2,60	3,94	4,34	0,19	1,19	51,80	156,70	15,40	
ED111	GD	67,99	0,51	16,27	3,61	0,02	1,55	1,68	3,79	3,52	0,22	2,80	88,70	148,7,80	17,80	
ED153	GD	70,74	0,44	15,88	2,46	0,02	1,73	1,01	3,66	4,07	0,20	1,67	67,60	145,40	15,70	
ED156	GD	68,78	0,38	15,27	3,38	0,07	1,49	2,87	3,88	3,87	0,17	0,75	50,70	94,80	15,60	
ED157.1	GD	68,07	0,44	15,62	3,86	0,06	1,70	3,09	3,97	3,53	0,20	0,81	62,50	29,80	16,10	
ED158	GD	69,07	0,43	15,74	3,70	0,07	1,62	2,74	3,71	3,95	0,18	0,85	61,60	116,50	15,40	
ED163	GD	66,85	0,45	15,45	5,34	0,13	1,69	3,37	3,14	3,20	0,22	3,95	62,30	187,40	15,30	
ED169	GD	66,17	0,46	15,76	4,06	0,07	1,91	3,74	3,86	3,75	0,19	0,90	65,30	81,50	16,60	
ED173	GD	69,24	0,40	15,71	3,76	0,03	1,52	2,31	3,72	3,57	0,17	1,50	61,10	374,80	15,80	
ED177	GD	69,26	0,46	15,83	4,12	0,03	1,82	1,17	3,37	3,87	0,21	5,39	65,70	183,90	16,50	
ED181	GD	67,77	0,45	15,35	3,96	0,04	1,92	2,53	3,62	3,95	0,21	1,88	69,20	103,40	15,80	
ED182	GD	66,15	0,46	15,19	4,02	0,05	1,82	2,70	3,37	4,47	0,20	2,15	60,80	83,90	16,20	
ED183	GD	67,01	0,45	15,64	3,88	0,04	1,83	2,87	3,79	3,70	0,21	2,41	72,40	39,70	16,10	
ED191	GD	67,77	0,43	15,08	3,59	0,04	1,70	2,32	3,74	4,16	0,19	1,46	62,20	370,30	16,10	
ED192	GD	67,53	0,39	15,35	3,58	0,05	1,78	3,11	3,59	4,00	0,20	2,38	82,50	50,4,00	16,20	
ED193	GD	68,46	0,44	15,12	3,31	0,06	1,82	2,49	3,66	4,22	0,20	1,88	59,90	462,00	15,80	
ED194	GD	67,68	0,44	15,68	3,82	0,04	1,86	2,80	3,90	3,58	0,21	2,05	62,90	22,40	16,30	
ED196	GD	67,93	0,50	17,04	5,65	0,01	1,25	0,07	0,96	5,99	0,18	4,29	126,60	69,00	18,40	
ED21-2	R	74,12	0,37	12,96	2,65	0,00	0,41	0,07	1,90	5,78	0,04	1,49	54,80	12,30	14,20	
ED21-3	R	72,81	0,40	15,19	2,68	0,00	0,49	0,12	2,56	5,18	0,03	1,78	56,90	85,80	14,90	
ED21-4	R	73,77	0,32	13,12	5,18	0,00	0,88	0,04	1,00	4,89	0,07	2,25	43,70	10,00	11,70	
ED21-5	R	74,35	0,35	14,89	2,10	0,00	0,42	0,03	1,66	5,98	0,03	1,63	42,60	20,20	14,00	
ED99	R	73,49	0,45	15,20	2,12	0,00	0,50	0,04	1,26	6,47	0,08	2,83	66,70	42,50	15,20	
ED101	R	73,42	0,42	15,81	2,67	0,00	0,42	0,06	2,43	4,43	0,03	2,33	60,20	31,10	15,40	

جدول ۲ نتایج شیشه‌های همگن برای سی و پنج عنصر فرعی سوئیس (به گرم در تن).

	Sc	Rb	Sr	Y	Zr	Nb	Cs	Ba	La	Ce	Pr	Nd	Sm	Eu	Gd	Tb	Dy	Ho	Er	Tm	Yb	Lu	Hf	Ta	W	Th	U	
ED104	۸۷,۱۲	۵۲,۵۷	۹۷,۹۲	۹۵,۱۹	۵۶,۱۲۴	۶۰,۷	۶۵,۱	۲۲,۲۸۲	۸۲,۲۴	۹۷,۴۹	۹۰,۵	-۰,۲۴	۷۷,۴	۲۰,۱	-۰,۴	۵۸,۰	۶۷,۲	۷۱,۰	۹۹,۱	۲۹,۰	-۰,۲	۳۰,۰	۳۴,۳	۵۲,۰	۱۵,۲	۳۳,۷	۹۶,۱	
ED160	۸۷,۱۵	۲۰,۷۲	۸۰,۹۳۷	۸۵,۱۸	-۴,۱۲۳	۷۶,۷	۴۲,۳	۵۶,۴۶۹	۴۷,۷۷	۵۹,۵۷	۱۳,۶	۲۵,۲۴	۵۲,۴	۲۶,۱	-۰,۱	۵۲,۰	۲۶,۲	۶۳,۰	۷۸,۱	۲۷,۰	۷۷,۳	۵۴,۰	-۰,۱	۰,۷	۸۴,۱			
ED108	۱۱,۱۳	-۰,۵۳۵	۴۴,۱۰۴	۶۶,۱۹	۱۳,۸۸	-۱,۵	۳۹,۳	۳۵,۲۲۶	۳۸,۱۶	۴۲,۴۴	۵۱,۴	۷۱,۱۹	۵۱,۴	۳۶,۱	۲۸,۴	۶۰,۰	۶۳,۰	۷۳,۰	-۰,۱	۳۰,۰	۹۵,۱	۲۸,۰	۵۰,۰	۳۲,۰	۶۵,۱	۱۳,۳	-۰,۱	
ED164	۹۵,۲۳	۵۸,۶۶	۷۱,۵۷۹	۲۶,۱۷	۷۷,۷۸	۷۲,۳	-۰,۶	۵۴,۳۰۲	۱۱,۱۶	۷۹,۴۲	۹۶,۳	۴۴,۱۶	۴۹,۳	۹۸,۰	۳۱,۳	۴۸,۰	-۰,۴	۶۲,۰	۷۳,۱	۲۶,۰	۷,۱	۲۶,۰	۲۸,۲	۲۶,۰	۱۲,۱	۲,۰	۱۶,۱	
ED37	۱۲,۱۲	۲۸,۱۰۴	۵۱,۴۹۱	۱۶,۱۲	۱۵,۱۲۹	۳۱,۱۱	۱۹,۲	۴۷,۴۸۱	۶۳,۲۲	۴۲,۷۷	۹۶,۶	۷۶,۲۲	۷۷,۳	۷۸,۰	۵۹,۲	۳۴,۰	-۰,۹	۴,۰	۲۱,۱	۱۸,۰	۳۶,۱	۲۱,۰	۶۴,۳	-۰,۷	۱,۱	۸۷,۱	۱۸,۱	۲۴,۲
ED78-۴	۲۲,۱۲	۹۸,۱۱۵	۱۲,۳۶۲	۱۴,۵	۶۹,۱۲۵	۷۸,۱۱	۵۴,۶	۶۲,۴۶۵	۴۴,۱۴	۴۳,۲۷	۵۶,۲	۴۷,۹	۶۸,۱	۶۳,۰	۳۲,۱	۱۷,۰	-۰,۳	۲,۰	۶۲,۰	۱۰,۰	۱۲,۰	۲۳,۳	۹۳,۰	۲۶,۲	۶۳,۱	۰,۲	۵۲,۵	
ED96	۴۹,۱۶	۵۶,۱۴۲	۷۱,۳۸۷	۸۲,۲۰	۵۹,۱۴۸	۸۲,۷	۱۲,۳	۱۳,۶۲۵	-۷,۲۵	۶۵,۴۹	۸۰,۵	۵۸,۲۲	۴۵,۴	۳۰,۱	۱۱,۴	۵۹,۰	۸۶,۳	۷۷,۰	۲۴,۲	۱۷,۰	۳۴,۰	-۰,۲	۵۸,۰	۷۰,۰	۷۰,۰	۷۵,۲		
ED102	۸۷,۱۱	۵۹,۱۲۱	۶۴,۳۵۲	-۰,۱۱	۸,۰,۱۲	۳۲,۱۱	۳۶,۳	۳۳,۴۹۵	۱۱,۱۲	۷۷,۴۳	۵۵,۴	۱۷,۰,۱۵	۷۰,۲	۷۰,۰	۲۷,۱	۳۱,۰	۹۹,۰	-۰,۷	۱۷,۱	۱۹,۰	۶۲,۳	-۰,۴	۱۷,۰	۶۶,۱	-۰,۲			
ED107	۳۹,۱۳	۷۷,۷۶	۳۰,۶۵	۹۶,۱۲	۵۱,۱۳	۴,۰,۹	۶۲,۳	۱۹,۵۶۹	۳۵,۲۲	۲۸,۷۲	۱۳,۴	۳۶,۱۵	۸۷,۲	۸۷,۰	۵۴,۰	۳۵,۰	۲۴,۰	۳۳,۱	۱۹,۰	۳۴,۱	۲۲,۰	۶۸,۳	۸۴,۰	۴۵,۱	۲۷,۱	۸۶,۱		
ED109	۶۷,۱۱	۶۸,۱,۰	۹۵,۴۹۷	۹۴,۱۲	-۰,۹,۱۴	۱۰,۱۱	۴,۰,۲	۴۵,۴۸۳	۳۲,۲۵	۱۵,۴۳	۵۸,۴	-۰,۵,۱۷	۹۴,۲	۷۸,۰	۴۷,۰	۳۴,۰	۱۷,۰	۲۶,۱	۴۱,۱	۲۳,۰	۷۰,۰	-۰,۱	۵۷,۱	۹۷,۱	۱۰,۰			
ED111	۶۷,۱۲	۶۰,۱۱۲	۷۰,۴۵۵	۷۷,۱۳	۱۸,۱۲۹	۱۶,۱۲	۲۷,۳	۱۹,۴۲۱	-۰,۴,۱	۰,۵,۰	۴۶,۴	۹۹,۱۶	۲۴,۳	۸۰,۰	۸۶,۰	۳۶,۰	۴۶,۰	۴۹,۰	۳۹,۱	۲۱,۰	۵۷,۱	۶۹,۰	-۰,۲	۷۰,۰	۷۸,۰	۷۸,۱	۹۶,۱	
ED153	۸۹,۱۱	۴۰,۱۱۱	۶۵,۳۵۷	۴۶,۱۳	۲۹,۱۲۴	۶۶,۱۱	-۰,۴	۱۰,۴۹۳	۶۶,۴۹	۵۰,۴۹	۶۶,۵	۹۴,۱۹	۱۱,۳	۸۵,۰	۸۷,۲	۳۸,۰	۴۶,۰	۴۹,۱	۲۰,۰	۳۵,۱	۲۱,۰	۶۴,۳	-۰,۲	۳۳,۰	-۰,۵	۱۲,۰		
ED156	۱۲,۱۱	۸۶,۸۶	۵۳,۵۲	۹۲,۱۱	۷۷,۱۲۸	۴۸,۱	۵۴,۲	۴۸,۰,۲	۲۶,۲۴	-۰,۴	۴۱,۰	۹,۰,۱۵	۶۵,۲	۷۹,۰	۲۲,۲	۳۳,۰	-۰,۹	۴,۰	۱۸,۱	۱۹,۰	۳۹,۱	۲۲,۰	۵۸,۳	-۰,۷	۱,۱	۵۴,۱	۷۶,۲	
ED157-۱	۶۸,۱۱	-۶,۹۶	۵۷,۵۷۷	۲۲,۱۳	-۹,۱۲۲	۳۶,۱	۸۶,۰	-۰,۵۰۲	۶۵,۰۱	۱۵,۰۵	۹۵,۵	۷۶,۰	۲۶,۰	۹۲,۰	۷۸,۰	۲۷,۰	۳۵,۰	۴۴,۰	۳۱,۱	۲۱,۰	۴۶,۱	۲۲,۰	۵۰,۰	۸۸,۰	۵۷,۱	۳۶,۰	۳۱,۲	
ED158	۴۱,۱۱	۵۹,۹۱	۸۹,۰۱۳	۹,۰,۱۲	۵۴,۱۳۹	۶۶,۹	۲۱,۰	۷۲,۴۹۷	۹۹,۲۸	۱۲,۰۱	۳۰,۰	۶۹,۱۸	۱۴,۳	۷۸,۰	۵۹,۰	۳۴,۰	۲۱,۰	۴۴,۰	۳۷,۱	۲۲,۰	۸,۰	۳۰,۰	۸۰,۰	۱۸,۱	۹۷,۱	۱۷,۰		
ED163	۶۴,۱۰	۸۴,۷۶	۵۲,۲۹۸	۷۹,۱۰	۲۶,۱۲۲	۱۸,۱۱	۲۲,۳	۳۳,۹۱۵	۵۲,۷۹	۱۲,۰۵	۵۱,۰	۱۹,۱۹	۹۹,۲	۸۶,۰	۳۹,۰	۳۱,۰	-۰,۵	۴۰,۰	۱۴,۱	۱۷,۰	۲۲,۱	۲۰,۰	۴۶,۰	-۰,۵	۵۹,۱	۷۰,۱	۳۶,۲	
ED169	۷۹,۱۱	۶۰,۹۷	۴۶,۰۶۷	۵۳,۱۳	-۱,۱۴۸	۵۱,۱	-۰,۵۴	۴۳,۰,۱	۲۹,۲۹	۷۳,۰,۳	۵۰,۰	۷۶,۱۹	۷۹,۰	۲۷,۰	۷۷,۰	۳۸,۰	۴۳,۰	۴۶,۰	۳۶,۱	۲۰,۰	۴۷,۰	۲۳,۰	۹۸,۳	۹۱,۰	۳۳,۱	۴۴,۱	۱۷,۰	
ED173	-۶,۱۱	۷۷,۹۱	۳۱,۰۱۶	۹,۰,۱۳	۶۸,۱۲۱	۹۱,۹	۳۱,۰	۲۱,۰,۸۶	۲۸,۲۲	-۱,۰,۵۸	۹۰,۰	۷۷,۰,۰	۲۰,۰	۲۰,۰	۸۶,۰	۲۰,۰	۴۰,۰	۴۰,۰	۴۰,۰	۲۰,۰	۴۷,۰	۲۰,۰	۷۸,۰	-۰,۵	۴۱,۱	۲۰,۰		
ED177	۹۵,۱۰	۳۴,۱۱۹	۸۸,۳۴۲	۲۶,۱۱	۹۵,۱۲۴	۲۱,۱۱	۱۹,۲	۲۴,۷۵۰	۹۶,۴۲	۴۷,۷۴	۴۷,۷۰	۲۴,۷۴	۱۷,۰	۲۴,۰	۲۲,۰	-۰,۰	۲,۰	۱۵,۱	۱۷,۰	-۲۲,۱	۱۹,۰	۴۵,۰	-۰,۲	۱۷,۰	۳۰,۰	۹۴,۱		
ED181	۳۰,۱۱	۶۸,۱۲۲	۴۵,۰۶۲	-۰,۱۱	۹۴,۱۲۹	۶۸,۱۱	۸۷,۰	-۰,۴۸۱	۹,۰,۳۰	-۰,۴,۰	۴۷,۰	۷۹,۱۸	-۰,۳	۸۰,۰	۴۰,۰	۳۳,۰	۹۹,۰	۱,۰	۱۷,۰	۲۴,۱	۱۸,۰	۶۲,۳	-۰,۰	۷۷,۰	۲۷,۰	۳۵,۳		
ED182	۴۳,۱۰	۶۷,۰,۱۱۷	۲۲,۳۴۶	۲۰,۱۲	-۰,۱۲۱	۳۱,۰	-۰,۰,۲	-۰,۴۶۹	۶۳,۱۸	۲۲,۳۴۷	۶۹,۰	۲۳,۱۴	۶۰,۰	۷۰,۰	۲۰,۰	۲۴,۰	-۰,۸	۲,۰	۲۰,۰	۲۸,۰	۲۲,۰	۸۲,۳	۹۷,۰	۳۹,۰	۹۳,۱	-۰,۰		
ED183	۲۲,۱۱	۶۳,۱۲۰	۵۲,۴۵۲	۹۵,۱۰	-۰,۲,۱۱۸	۲۷,۱۱	۵۲,۳	۲۶,۰,۲۹	۹,۰,۱۲	۴۲,۰,۲۲	۶۳,۰	۲۷,۰,۱	-۰,۵	۶۰,۰	۲۸,۰	۳۶,۰	۱۲,۰	۱۷,۰	۲۷,۰	۱۹,۰	۲۹,۰	-۰,۰	۱۸,۰	۶۶,۰	۳۱,۰			
ED191	۱۸,۱۰	-۰,۹,۱۱۳	۴۶,۰۵۰	-۰,۱,۱۱	۹۸,۱۲۱	۹۴,۱	-۰,۷۹,۳	۳۲,۰,۱۱	۵۷,۷۴	۴۱,۰,۱۳	۵۶,۰	۲۷,۰,۱۶	۸۶,۰	۸۱,۰	۲۲,۰	۳۱,۰	۹۸,۰	۱۲,۰	۱۷,۰	۲۸,۰	۲۰,۰	۷۳,۰	-۰,۱	۶۱,۰	۹۷,۰	-۰,۰		
ED192	۳۲,۱۱	۸۲,۱۱۴	۲۰,۳۹۹	۵۵,۱۲	-۰,۱,۱۲	۶۰,۹	۳۸,۴	۴۹,۴۶۹	۵۰,۱۲	۶۶,۲۱	۲۸,۰	۱۹,۹	-۰,۳	۲۲,۰	۲۲,۰	۲۵,۰	۱۹,۰	۲۸,۰	۲۲,۰	۲۰,۰	۵۷,۰	۹۷,۰	۱۲,۰	۱۳,۰	۸۶,۰			
ED193	۲۶,۱۱	۵۷,۱۱۷	۹۳,۰۱۸	۳۷,۱۷	۱۶,۱۲۱	۹۷,۱	-۰,۴۵,۳	۶,۰,۴۹۵	۲۴,۰,۲۷	۵۰,۰,۷۴	۴۸,۰	۱۷,۱	۸۷,۰	۹۰,۰	۲۲,۰	۴۵,۰	-۰,۳	۰,۰	۷۴,۰	۲۰,۰	۲۸,۰	۹۱,۰	۳۰,۰	۵,۰	۷۸,۰	۲۶,۰	۳۶,۰	
ED194	۳۸,۱۱	۳۶,۱۱۶	۴۰,۰۵۳	۷۲,۹	۳۸,۱۲۵	۹۷,۱	-۰,۲,۰	۷۹,۰,۴۵	۴۲,۰,۲۵	۵۵,۰,۴	۴۴,۰	۹۷,۰,۱۴	۶۷,۰	۷۶,۰	۱۸,۰	۲۲,۰	۴۰,۰	-۰,۱	۱۶,۰	-۰,۵	۱۸,۰	۵,۰	۵۱,۰	۹۸,۰	۵۶,۰	۱۶,۰	۸۷,۰	
ED196	۳۷,۱۱	۲۶,۱۹۰	۶۹,۴۶	-۰,۷۲	۵۰,۱۲۴	۵۰,۷	-۰,۱	۴۸,۰,۸۸	۵۰,۰,۲۹	۱۸,۰	-۰,۵	۵۰,۰	۵۰,۰	۱۸,۰	۱۷,۰	۵۰,۰	-۰,۱	۷۷,۰	-۰,۷	۳۰,۰	۱۸,۰	۶۶,۰	۵۷,۰	۴۶,۰	۲۲,۰			
ED21-۲	۴۳,۱۱	۹۳,۰۲۰	۵۹,۱۲۵	۲۹,۰	۷۹,۰	۲۹,۱۲۲	۴۶,۱	۷۶,۰,۴۸	۸۰,۰,۲۸	۷۱,۰,۲۸	۱۸,۰	۱۸,۰	۱۷,۰	۱۷,۰	۲۶,۰	۱۸,۰	۲۶,۰	۱۷,۰	۲۰,۰	۷۸,۰	۵۵,۰	۵۳,۱۱	-۰,۶	۲۹,۰				
ED21-3	-۰,۸,۱۲	-۰,۷,۱۹۵	۵۰,۱۷۵	-۰,۸	۱۷	۱۳,۰	-۰,۲	۵۰,۰,۱۳	۹۳,۰	۴۱,۰,۴۴	۷۴,۰,۲۶	۹۲,۰,۴۵	۴۲,۰	۲۷,۰,۱۴	۱۵,۰	۲۰,۰	۵۰,۰	-۰,۰	۱۳,۰	۱۷,۰	۲۰,۰	۵۶,۰	۴۳,۱	۵۰,۰	۱۲,۰	۸,۰		
ED21-4	-۰,۱,۱۱	۹۳,۰۱۸	۶۸,۰,۱۰	۶۶,۰	۲۴,۰,۱۱۴	-۰,۳,۱۲	۶۶,۰	۹۷,۰,۱۶	۹۸,۰,۳۰	۹۴,۰,۵۹	۹۶,۰	۵۰,۰	۵۰,۰	-۰,۳	۱۲,۰	۲۴,۰	۲۹,۰	۱۷,۰	۲۰,۰	۱۵,۰	-۰,۰	۴۰,۰	۶۱,۰	۷۸,۰,۱۹				



شکل ۶ نمودارهای مقادیر  $\text{TiO}_2$ ,  $\text{Al}_2\text{O}_3$ ,  $\text{MgO}$ ,  $\text{CaO}$ ,  $\text{Na}_2\text{O}$ ,  $\text{FeO}_t$ ,  $\text{K}_2\text{O}$ ,  $\text{Sr}$ ,  $\text{Rb}$ ,  $\text{Ba}$ ,  $\text{Y}$ ,  $\text{Eu}$ ,  $\text{Zr}$ ,  $\text{Ce}/\text{Yb}$ ,  $\text{La}/\text{Yb}$ ,  $\text{A}/\text{CNK}$ ,  $\text{K}_2\text{O}/\text{Na}_2\text{O}$ ، عدد منیزیم، عناصر فرعی،  $\text{SiO}_2$  نسبت به  $\text{SiO}_2$ . مثلث سبز کوچک دیوریت، مثلث های سیاه بزرگتر داده های دیوریتی مرجع [۱۷]، مربع قرمز گرانودیوریت و لوزی های آبی تخلی نمونه های ریولیتی هستند.



شکل ۷ الف) نمودار عنکبوتی عناصر خاکی نادر نمونه‌های ب亨جار شده به کندریت [۱۹]، ب تا ت) مقایسه نمونه‌های دیوریتی، گرانودیوریتی و ریولیتی ب亨جار شده با کندریت [۱۹]، میانگین پوسته بالای قاره‌ای [۲۰]، ث) نمودار عنکبوتی عناصر خاکی نادر و فرعی ب亨جار شده به کندریت [۱۹]، ج) نمودار عنکبوتی عناصر خاکی نادر و فرعی، ب亨جار شده به گوشته اولیه [۱۹]، ج) نمودار عنکبوتی عناصر، به هنچار شده به میانگین پوسته قاره‌ای بالای [۲۱] ( مثلث‌های آبی = ریولیت، مربع‌های مشکی = دیوریت‌ها و به اضافه‌های قرمز = گرانودیوریت هستند).

صعود با مagmaی مافیک یا پوسته قاره‌ای ذوب شده توجیه شود [۲۷-۲۲]. در ادامه فرآیندهای AFC و آمیختگی بررسی می‌شوند.

**جدایش بلوری کانی‌ها و آلایش با پوسته**  
در کنار عناصر اصلی و فرعی (شکل ۶)، با مشاهده الگوی REE در همه نمونه‌ها (شکل ۷)، می‌توان نتیجه گرفت که مagma مادر توده‌های گرانودیوریت و گنبد ریولیتی جدایش یافته است، زیرا غنی‌شدگی LREE نسبت به HREE کاملاً نمایان بوده و نیز کاهش مقدار  $\text{SiO}_2$  با  $\text{Zr}$  در گرانیت‌وئیدها به دلیل جدایش magmaی است [۲۴-۲۲]. بر اساس پژوهش‌های پیشین [۲۸]، مقایسه نسبت  $\text{Sr}$  به  $\text{Rb}$  و روند آن در نمونه‌ها، نشان دهنده جدایش magmaی و نقش نداشتن دگرسانی در تشکیل سنگ‌هاست (شکل ۸ الف). پیش از توضیح جدایش بلوری، گفتی است که بر اساس الگوی REE و غنی‌شدگی بسیار LREE نسبت به HREE، می‌توان گفت که گارنت در تشکیل مذاب نقشی نداشته است (شکل ۷). همچنین تغییرات  $\text{Dy/Yb}$  نسبت به  $\text{SiO}_2$  (شکل ۸ ب) نیز تایید کننده این امر است [۲۹].

### بحث و نتیجه‌گیری

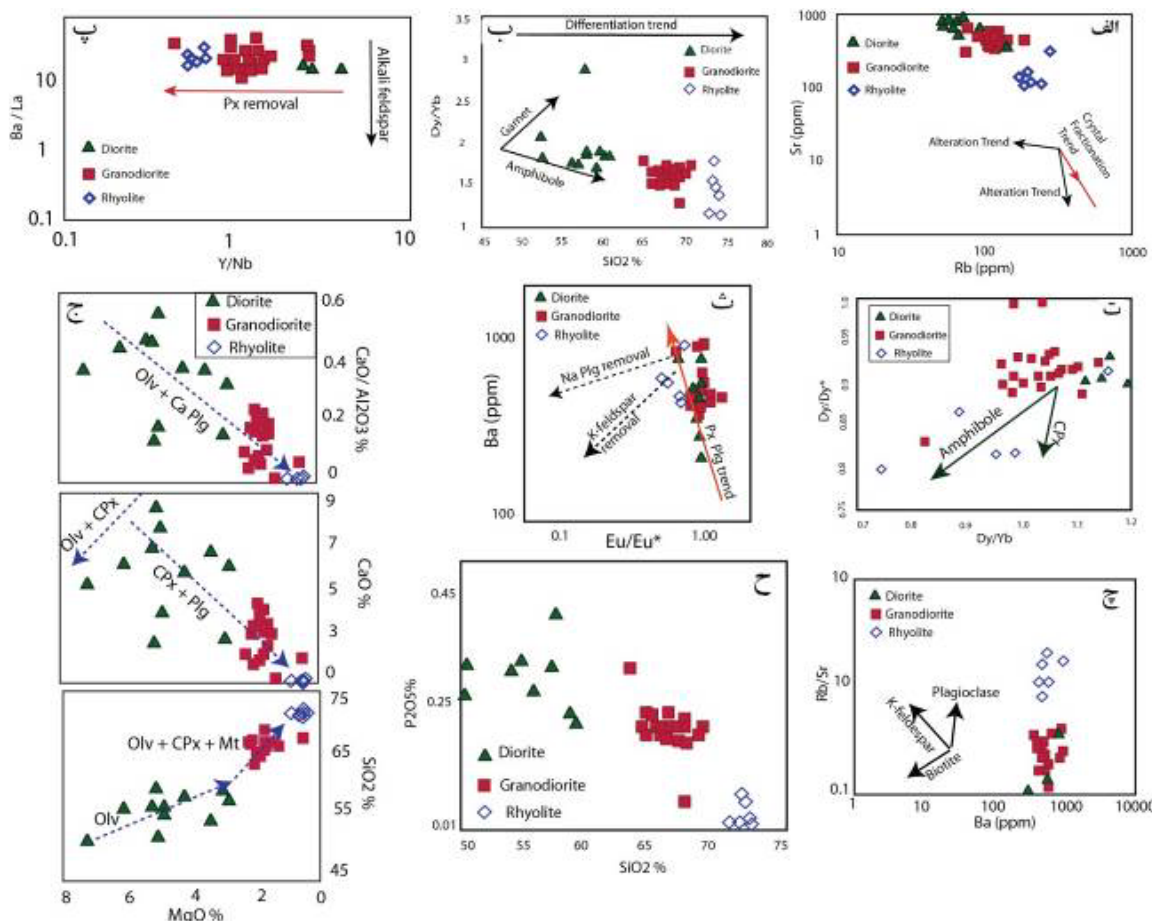
بر اساس نمودارهای هارکر (شکل ۶)، رابطه زایشی معناداری بین توده‌های نفوذی منطقه وجود دارد. تحلیل داده‌های زمین شیمیایی اکسیدهای اصلی، عناصر فرعی و خاکی نادر نشان دهنده شباهت‌های فراوان بین سنگ‌های گرانودیوریتی و دیوریتی و تا اندازه‌ای با نمونه‌های ریولیتی است (شکل‌های ۶ و ۷).

داده‌های REE ب亨جار شده به کندریت و گوشته اولیه (شکل‌های ۷ الف تا پ) نیز نشان از این شباهت‌ها به ویژه بین نمونه‌های گرانودیوریتی و دیوریتی در بی هنچاری منفی در عناصر تری نیتروتولوئن (TNT) و غنی‌شدگی از LREE نسبت به Sr دارند. تفاوت این الگوها تهی شدگی شدید Sr HREE در نمونه‌های ریولیتی است (شکل‌های ۷ ب و پ). تفاوت‌هایی نیز در الگوی افزایشی یا کاهشی عناصر و اکسیدهای نسبت به افزایش  $\text{SiO}_2$  دیده می‌شود (نمودارهای هارکر شکل ۶). از آنجا که این نمودارها نشان از magmaهای هم خاستگاه دارند، این تفاوت‌ها در الگوهای REE و عناصر اصلی و فرعی می‌تواند با فرآیندهایی مانند آلایش پوسته‌ای magma در حال صعود و هضم و تبلور جدایشی (AFC) و آمیزش magma در حال

جدایش یافته، مقدار  $MgO$  کاهش و  $SiO_2$  افزایش می‌یابد [۲۴]، ولی اگر همراه با الیوین کلینوپیروکسن نیز جدا شود، الگوی  $SiO_2$  و  $CaO$  آن تغییر می‌کند. بر اساس شکل‌های ۸ پ تا ج جدایش الیوین و پیروکسن انجام شده است. البته با توجه به الگوی کاهشی  $CaO$  نسبت به  $MgO$  و در مقام بعد الگوی کاهشی  $K_2O$  با  $MgO$  احتمال جدایش همزمان الیوین و کلینوپیروکسن نیز وجود دارد. از طرفی، الگوی مقدار  $SiO_2$  نسبت به  $MgO$  جدایش فقط کلینوپیروکسن را تایید نمی‌کند. جدایش پیروکسن سبب تغییر در نسبت  $Y/Nb$  می‌شود و ماقمای جدایش یافته تهی از این نسبت می‌شود [۲۵]. این نسبت که در شکل ۸ ت نشان داده شده است، جدایش پیروکسن را تایید می‌نماید.

نسبت  $Eu/Eu^*=2EuN/(SmN+GdN)$  در همه نمونه‌ها از  $0/5$  تا  $1/29$  در تغییر است. بر اساس نمودارهای هارکر، کانی‌هایی جدا شده‌اند که عناصر  $Y, Sr, Ca$  و نیز  $TiO_2$  و  $Al_2O_3, P_2O_5, Na_2O$  ماگما جدا شده‌اند. در ادامه، جدایش کانی‌های گارنت، پیروکسن، الیوین، پلازیوکلаз کلسیم و سدیم، فلدسپات پتاسیم، آپاتیت و هورنبلند بررسی می‌شوند (شکل ۸).

**پیروکسن و الیوین:** کاهش مقدار  $MgO$  و  $FeO$  با افزایش  $SiO_2$  می‌تواند به دلیل تبلور بخشی الیوین و کلینوپیروکسن و کاهش همزمان  $PtO_2, CaO$  و  $MgO$  به دلیل تبلور و جداشدن همزمان پلازیوکلاز، الیوین، ایلمنیت، تیتانومگنتیت و پیروکسن باشد. در صورت جدایش الیوین در سنگ‌های



شکل ۸ الف: نمودار  $Rb/Sr$  نسبت به  $Dy/Yb$  و اثر نداشتن دگرسانی در روند جانمایی نمونه‌ها [۲۶] ، ب: روند کاهشی  $SiO_2$  [۲۷] و نبود گارنت در تشکیل ماقمای اولیه. پ: جدایش پیروکسن و جدایش نیافتن فلدسپات پتاسیم [۲۳]، ت: نمودار  $Dy/Dy^*$  نسبت به  $Dy/Yb$  [۳۰] و جدایش آمفیبول، ث: و جدایش پیروکسن و پلازیوکلاز و جدایش نیافتن فلدسپات پتاسیم و پلازیوکلاز سدیم نمودار  $Ba$  نسبت به  $MgO$  [۲۴] و جدایش الیوین و پلازیوکلاز کلسیم و پیروکسن و مگنتیت [۳۰]. ج: نمودارهای  $CaO/Al_2O_3$  و  $SiO_2$  و  $Eu/Eu^*$  [۲۶]، ج: نمودار  $Rb/Sr$  نسبت به  $Ba$  [۲۶] و جدایش پلازیوکلاز و جدایش نیافتن بیوتیت و فلدسپات پتاسیم ، ح: همیستگی منفی  $SiO_2$  و  $P_2O_5$  [۲۶]

نمودارهای زمین‌شیمیایی (شکل‌های ۸ پ، ت و ج)، جدایش فلدسپات پتاسیم انجام نشده و این کانی تا آخرین مراحل ماقماً حضور داشته است. در صورت جدایش فلدسپات پتاسیم، در نمودار هارکر (شکل ۶) عناصر سنگ دوست Ba, K و Rb (که ضریب جدایش آن‌ها در فلدسپات پتاسیم بالاست) باید در نمونه‌های جدایش یافته ریولیت، همراه با افزایش  $\text{SiO}_2$  کاهش نشان دهند که چنین نیست و حتی گاهی در نمونه‌های ریولیت روند افزایشی دارند. بر اساس پژوهش هندرسون [۲۵]، جدایش فلدسپات پتاسیم سبب تغییر در نسبت Ba/La می‌شود. ثابت بودن این نسبت نشان‌دهنده جدا نشدن فلدسپات پتاسیم است (شکل‌های ۸ پ، ت و ج). فراوانی این کانی در نمونه‌های ریولیت که جدایش یافته ترین رخمنون منطقه است، تأکید کننده این امر است.

آمفیبول: جدایش آمفیبول بر اساس نمودار Dy/Yb نسبت به  $\text{SiO}_2$  (شکل ۸ ب) انجام شده است و می‌تواند همراه با جدایش ایلمنیت، اسفن و روتاپل [۲۶] دلیل کاهش  $\text{TiO}_2$  با افزایش  $\text{SiO}_2$  باشد [۲۹]. کمبود هورنبلند در نمونه‌های گرانودیوریت و نبود آن در ریولیت‌ها تایید کننده این جدایش است.

آپاتیت: کاهش  $\text{P}_2\text{O}_5$  به احتمال بسیار به دلیل تبلور بخشی آپاتیت است [۲۶، ۴۴]. در نمونه‌های مورد بررسی، P به عنوان یک عنصر ناسازگار رفتار کرده است و با افزایش  $\text{SiO}_2$  و جدایش غلظت آن کاهش می‌باید (شکل ۸ ح). از این رو، تغییرات  $\text{P}_2\text{O}_5$  با کلسیم کنترل می‌شود و به دلیل تشکیل آپاتیت، ماقماً از کلسیم غنی بوده است. کاهش  $\text{P}_2\text{O}_5$  با افزایش  $\text{SiO}_2$  شاخص گرانیت‌های نوع I است [۳۲، ۳۱].

رفتار Y و Zr نسبت به  $\text{SiO}_2$  نیز بیانگر جدایش احتمالی کانی‌های آمفیبول، اسفن، آپاتیت و زیرکن است. در ماقمای مافیک، جانشین Ti در اسفن و روتاپل می‌شود و در ماقمای حدواسط، کانی زیرکن تشکیل می‌شود. با جدایش زیرکن، مقدار این عنصر به شدت در ریولیت‌ها و در گرانودیوریت‌های جدایش یافته تر تهی می‌شود (شکل ۵). رفتار Y شبیه عناصر خاکی نادر است و مقدار آن به طور نسبی با افزایش جدایش و مقدار  $\text{SiO}_2$  کاهش نشان می‌دهد. به دلیل کنترل این کانی توسط گارنت، آمفیبول، اسفن و آپاتیت [۲۶]، انتظار می‌رود که در نمونه‌های دیوریتی، فراوانی آن بیشتر و در ریولیت‌ها کمتر باشد. این امر به صورت مشهود در نمونه‌های مورد بررسی دیده می‌شود. به دلیل شباهت رفتار به شدت کاهشی V و Ti نسبت به  $\text{SiO}_2$ ، به احتمال بسیار هر دو این عناصر با هم در

پلازیوکلاز: کاهش مقدار  $\text{CaO}$  و  $\text{Al}_2\text{O}_3$  با افزایش  $\text{SiO}_2$  می‌تواند به دلیل تبلور بخشی پلازیوکلاز کلسیمی طی جدایش باشد [۲۶-۲۴]. جدایش پلازیوکلاز کلسیمی رفتار سازگار Sr در ماقماً را توجیه می‌کند، زیرا به دلیل جانشینی Sr به جای Ca در ساختار پلازیوکلاز کلسیمی و جدایش آن از ماقماً، مقدار این عنصر در سری‌های ریولیتی شده است (شکل ۷ ت). Sr به طور گسترده جانشین کلسیم در فلدسپات پتاسیم کلسیمی شده و سپس، جایگزین پتاسیم در فلدسپات پتاسیم می‌شود [۲۴]. داده‌های زمین‌شیمیایی نشان دهنده جدایش نیافتن فلدسپات پتاسیم است (شکل‌های ۷ پ، ت و ج) و بر این اساس، نقش پلازیوکلاز کلسیمی در کنترل Sr بازتر می‌شود. بر اساس رفتار سازگار Sr، پلازیوکلاز کلسیمی در مراحل ابتدایی تشکیل شده است [۲۴]. یوروپیوم نیز با پلازیوکلاز کنترل شده و هرگونه جدایش این کانی سبب ناهنجاری منفی در این عنصر می‌شود [۲۶]. در بسیاری از نمونه‌ها، یوروپیوم ناهنجاری منفی نشان می‌دهد. جدا نشدن فلدسپات پتاسیم نیز می‌تواند در این امر نقش داشته باشد (شکل ۸ چ). غنی شدگی Eu در برخی از نمونه‌های گرانودیوریتی (به ویژه در نمونه ED78-4) می‌تواند به دلیل انباستگی پلازیوکلاز در آن‌ها باشد [۲۶]. جدایش همزمان پلازیوکلاز غنی از کلسیم و پیروکسن بر اساس تغییرات Ba نسبت به Eu/Eu\* در شکل ۸ ث، پیشنهاد می‌شود [۳۰]. جدایش پلازیوکلاز اثر مشترکی بر کاهش مقدار Sr و ناهنجاری منفی یوروپیوم دارد. جدایش این کانی در بخش‌های جدایش یافته ماقمای گرانودیوریتی شروع شده و پس از آن با سرعت بسیاری در ماقمای ریولیتی دنبال شده که این امر سبب کاهش Sr تا حدود ۱۰۰ ppm در ریولیت‌ها گردیده است. در مورد احتمال جدایش پلازیوکلاز سدیم باید گفت که کاهش  $\text{Na}_2\text{O}$  با افزایش  $\text{SiO}_2$  می‌تواند به دلیل سازگار بودن سدیم و ورود آن در شبکه پلازیوکلاز سدیم و جدایش آن باشد. روندهای پراکنده  $\text{Na}_2\text{O}$  می‌تواند به دلیل هضم و آمیختگی ماقماً طی صعود باشد [۲۳]. کاهش نامنظم  $\text{Na}_2\text{O}$  با افزایش  $\text{SiO}_2$  در نمونه‌های مورد بررسی نشان می‌دهد که همراه با تشکیل گرانودیوریت، پلازیوکلازهای سدیمی مصرف شده و به ریولیت نرسیده‌اند. کاهش شدید  $\text{Na}_2\text{O}$  در نمونه‌های ریولیتی بر این اساس توجیه می‌شود. فلدسپات پتاسیم: افزایش  $\text{K}_2\text{O}$  روندی مشخص در جدایش ماقماً بوده که در نمونه‌ها به خوبی مشخص است. بر اساس

ماگماهای جدید بیشتر مافیک است [۲۳]. به دلیل چگالی به نسبت یکسان پلازیوکلاز با ماقمای گرانودیوریتی و امکان تعليق بیشتر آن در مذاب (به نسبت پپروکسن، آمفیبول و بیوتیت) امکان تغییرات زمین شیمیایی بلورهای تشکیل شده با تپهای ماقمایی جدید بیشتر فراهم می‌شود. خوردگی و بازجذب در ساختارهای رشدی نیز خود نشان دهنده ارتباط بلور با ماقمای جدید است که در بسیاری از بلورهای پلازیوکلاز (هم در بررسی‌های سنگنگاری و هم در تصاویر میکروسکوپی از الکترون‌های پس پراکنده و EPMA) قابل مشاهده است (شکل‌های ۱۱، ۱۰، ۱۲ و ۱۳).

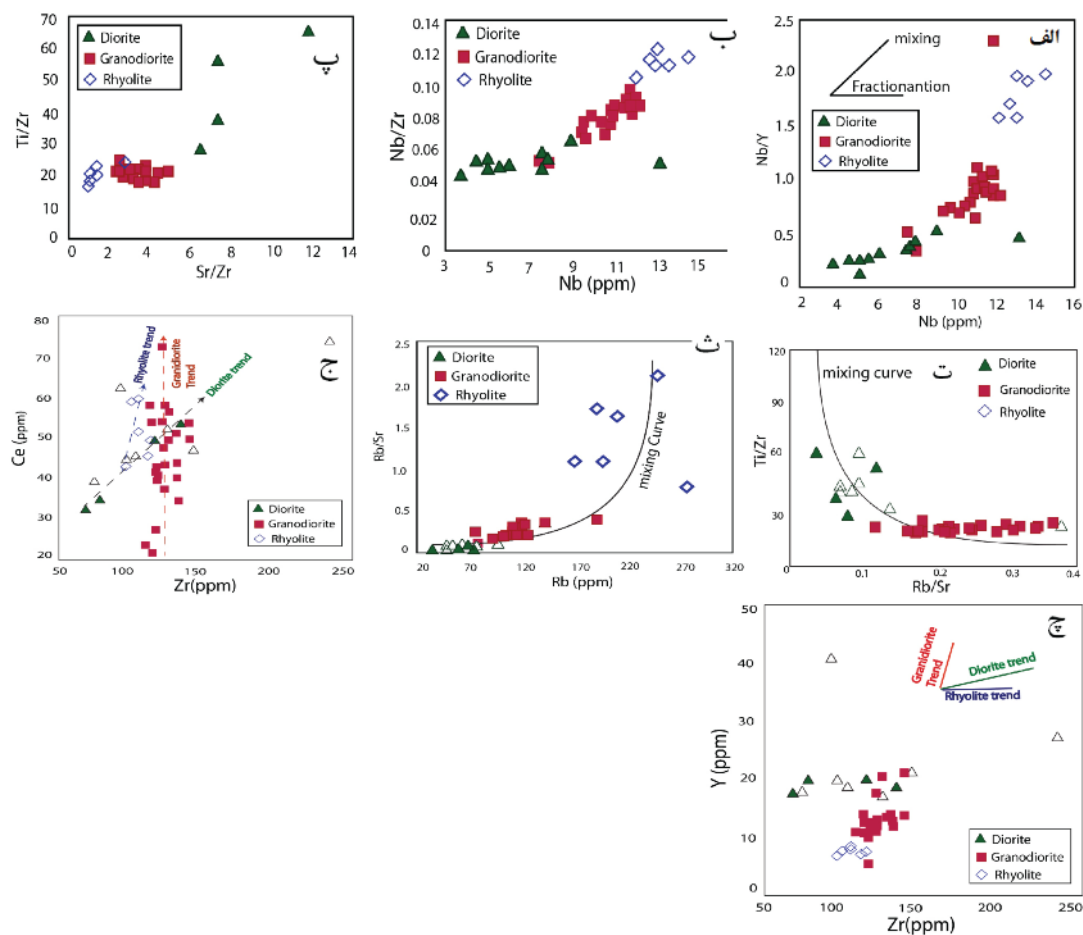
پدیده آمیختگی در شیمی سنگ کل نمونه‌ها نیز قابل بررسی است. همه نمودارهای  $\text{SiO}_2$  نسبت به اکسیدهای اصلی و عناصر فرعی و الگوی REE‌ها (شکل‌های ۶ و ۷)، جدای از اختلاف‌ها، نشان از همبستگی زیادی همه توده‌های نفوذی در منطقه دارند. بر اساس نتایج تجزیه سنگ کل توده‌های متفاوت ولی هم خاستگاه که دچار آمیزش ماقمایی شده‌اند، [۳۴-۳۶]، در نمودارهای Nb/Y نسبت به Nb/Zr، [۳۴]، در نمودارهای Sr/Zr نسبت به Ti/Zr [۳۵] و [۳۶]، روند شیدار نمونه‌ها نشانه مهمی از فرآیند آمیختگی است، ولی اگر در راستای یک خط افقی مستقیم قرار بگیرند، به احتمال بسیار ماقمایی فلزی از یک ماقمای مافیک تنها بر اثر فرآیند جدایش بلوری تشکیل شده است. نمونه‌های حداوسط- مافیک تا فلزی منطقه مورد بررسی روند خطی افقی را نشان نمی‌دهند و این دلیلی دیگر بر اثر آمیزش ماقمایی در تشکیل توده‌های گرانودیوریتی و با اثر کمتر در توده ریولیتی است. همخوانی نمونه‌ها با منحنی‌های آمیختگی در شکل‌های ۹ ت و ۷ [۳۷] و الگوی بی‌نظم کاوهشی  $\text{Na}_2\text{O}$  نسبت به  $\text{SiO}_2$  (شکل ۶)، از دلایل زمین- شیمیایی برای تأیید آمیزش ماقمای گرانودیوریتی، دیوریتی و ماقمای مافیک‌تر است. نمودارهای Zr نسبت به Y و Ce (شکل‌های ۹ ج و چ) نیز روند پراکنده‌ای را نشان می‌دهند که می‌تواند به دلیل آمیختگی، ذوب بخشی، هضم و آلایش همراه با جدایش بلوری باشد، زیرا اگر جدایش تنها عامل تکامل ماگماهای هم خاستگاه باشد، روند این دو نمودار افزایشی پرشیب است. در این نمودارها، روند دیوریت‌ها تقریباً پرشیب و افزایشی است و می‌توان گفت که در تکامل دیوریت‌ها جدایش نسبت به دیگر عوامل، نقش پر رنگ تری داشته است.

کانی‌هایی مانند تیتانومگنتیت، پپروکسن و شاید آمفیبول جانشین شده‌اند.

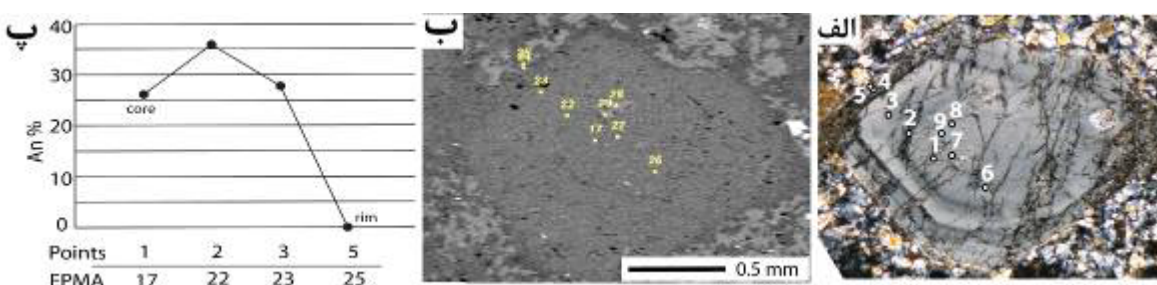
**آمیزش ماقمایی:** در پژوهش پیشین در منطقه، فرآیند آمیختگی بررسی شده است [۶]. در آن پژوهش، برونبوم‌های مافیک موجود در توده‌های گرانودیوریتی، ماقمایی تشخیص داده شدن و براساس شواهدی مانند الگوی مشابه REE برونبوم‌های مافیک ریزبلور با میزان‌های گرانودیوریتی، شباهت شیمی کانی بیوتیت و پپروکسن برونبوم‌ها با بیوتیت و پپروکسن میزان گرانودیوریتی، نتیجه گرفته شد که ورود ماقمای بازی- حداوسط به مخزن ماقمای گرانیتی- گرانودیوریتی سبب آمیزش ماقمایی شده است. در این پژوهش، با تکمیل یافته‌ها و داده‌های جدید این نظریه دوباره بررسی شد. در ادامه شواهد صحرایی، سنگنگاری، شیمی سنگ کل و شیمی کانی پلازیوکلاز برای اثبات رخداد آمیختگی بیان می‌شوند. در بررسی‌های صحرایی، وجود مرزهای تورفته و خلیجی در مرز توده گرانودیوریتی و استوک کوچک دیوریتی در جنوب منطقه (شکل ۳) وجود فلدسپات‌های درشت در برونبوم‌های ریزبلور در بخش‌های غربی توده گرانودیوریتی (شکل ۳) نشانگ آمیزش ماقمایی است [۳۲]. همچنین، نبود سوختگی یا سرد شدگی ناگهانی<sup>۱</sup> در مرزهای برونبوم و توده گرانودیوریتی نیز پدیده آمیختگی ماقمای گرانودیوریتی و یک ماقمای مافیک را تایید می‌کنند. پژوهشگران در یافته‌اند که در ماقمایی که آمیختگی را تجربه کرده‌اند، شواهد سنگنگاری مانند خوردگی پلازیوکلاز (در مرکز و مرزهای رشدی) و مرزهای آمیبی و تورفته برونبوم با توده میزان (در صحراء و در مقیاس میکروسکوپی) دیده می‌شود [۲۷، ۲۳، ۳۳]. این شواهد در بررسی سنگنگاری سنگ‌های گرانودیوریتی منطقه بسیار دیده می‌شود (شکل ۴). نتایج شیمی کانی‌های پلازیوکلاز دارای منطقه‌بندی در توده گرانودیوریتی، با دستگاه EPMA در انجمن علوم زمین دانشگاه لوزان سوئیس (جدول ۳) و تحلیل آن‌ها، نشان از منطقه‌بندی شیمیایی معکوس و نوسانی در آن‌ها دارد. در این بلورهای، بر خلاف روند معمول رشد پلازیوکلازاها که درصد آنورتیت از مرکز به لبه کاهش می‌یابد، در بخش‌هایی از لبه یا مناطق رشدی، درصد آنورتیت بیشتر از مرکز بلور می‌شود (شکل‌های ۹ تا ۱۲). منطقه‌بندی معکوس یا نوسانی در پلازیوکلازاها نشاندهنده باز تعادل شیمیایی آن‌ها با ماقماً یا

جدول ۳ نتایج تجزیه نقطه‌ای پلازموکلزهای دارای منطقه‌بندی با دستگاه EPMA، (بر حسب درصد وزنی).

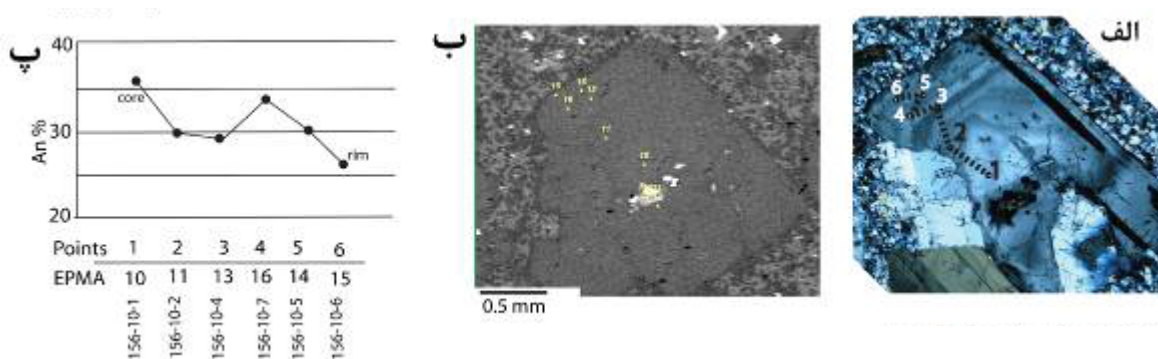
point	17	22	23	25	10	11	13	16	14	15	81	82	83	84	85	86	87	88	89
sample	156-3-1	156-3-1	156-3-2	156-3-4	156-10-1	156-10-2	156-10-4	156-10-7	156-10-5	156-10-6	156-up3-1	156-up3-2	156-up3-3	156-up3-4	156-up3-5	156-up3-6	156-up3-7	156-up3-8	156-up3-9
SiO <sub>2</sub>	51.95	50.84	50.59	50.94	50.97	51.14	51.1	50.84	50.36	50.65	50.33	50.34	50.46	50.85	50.12	50.24	50.45	50.56	
Al <sub>2</sub> O <sub>3</sub>	12.74	12.01	12.27	12.47	12.47	12.49	12.47	12.61	12.74	12.90	12.91	12.79	12.79	12.79	12.79	12.79	12.79	12.79	
FeO	1.22	1.22	1.25	1.25	1.10	1.22	1.26	1.24	1.22	1.22	1.21	1.25	1.25	1.22	1.25	1.25	1.25	1.25	
MgO	1.1	1.1	1.0	1.0	1.0	1.1	1.0	1.0	1.0	1.0	1.1	1.0	1.0	1.1	1.0	1.0	1.0	1.0	
CaO	5.97	7.44	5.91	10.4	7.78	6.74	6.12	6.88	6.24	5.97	7.17	9.45	7.56	8.07	9.99	7.19	7.35	7.14	
Na <sub>2</sub> O	1.12	1.12	1.19	1.19	1.11	1.11	1.11	1.11	1.11	1.11	1.11	1.11	1.11	1.11	1.11	1.11	1.11	1.11	
K <sub>2</sub> O	0.55	0.55	0.55	0.55	0.55	0.55	0.55	0.55	0.55	0.55	0.55	0.55	0.55	0.55	0.55	0.55	0.55	0.55	
Total	100.37	99.55	99.55	99.55	100.17	100.51	100.77	100.45	100.22	100.22	100.16	100.45	100.45	100.45	100.45	100.45	100.45	100.45	
Si	2.77	2.78	2.71	2.70	2.85	2.71	2.71	2.75	2.68	2.73	2.73	2.66	2.66	2.66	2.66	2.66	2.66	2.66	
Al	1.25	1.25	1.28	1.28	1.27	1.27	1.27	1.23	1.23	1.23	1.23	1.23	1.23	1.23	1.23	1.23	1.23	1.23	
Cr	1.00	1.00	1.00	1.00	1.00	1.00	1.00	1.00	1.00	1.00	1.00	1.00	1.00	1.00	1.00	1.00	1.00	1.00	
Fe++	0.1	0.1	0.1	0.1	0.1	0.1	0.1	0.1	0.1	0.1	0.1	0.1	0.1	0.1	0.1	0.1	0.1	0.1	
Ca	0.72	0.72	0.72	0.72	0.72	0.72	0.72	0.72	0.72	0.72	0.72	0.72	0.72	0.72	0.72	0.72	0.72	0.72	
Na	0.74	0.74	0.74	0.74	0.74	0.74	0.74	0.74	0.74	0.74	0.74	0.74	0.74	0.74	0.74	0.74	0.74	0.74	
K	0.3	0.3	0.3	0.3	0.3	0.3	0.3	0.3	0.3	0.3	0.3	0.3	0.3	0.3	0.3	0.3	0.3	0.3	
Total	9.99	5.1	5.1	5.1	9.84	5.99	5.99	5.99	5.99	5.99	5.99	5.99	5.99	5.99	5.99	5.99	5.99	5.99	
Alb %	7.6	7.6	7.6	7.6	5.93	5.93	5.93	5.93	5.93	5.93	5.93	5.93	5.93	5.93	5.93	5.93	5.93	5.93	
Kfs %	1.17	1.17	1.17	1.17	1.17	1.17	1.17	1.17	1.17	1.17	1.17	1.17	1.17	1.17	1.17	1.17	1.17	1.17	
An %	25.25	25.59	25.97	25.97	25.97	25.97	25.97	25.97	25.97	25.97	25.97	25.97	25.97	25.97	25.97	25.97	25.97	25.97	



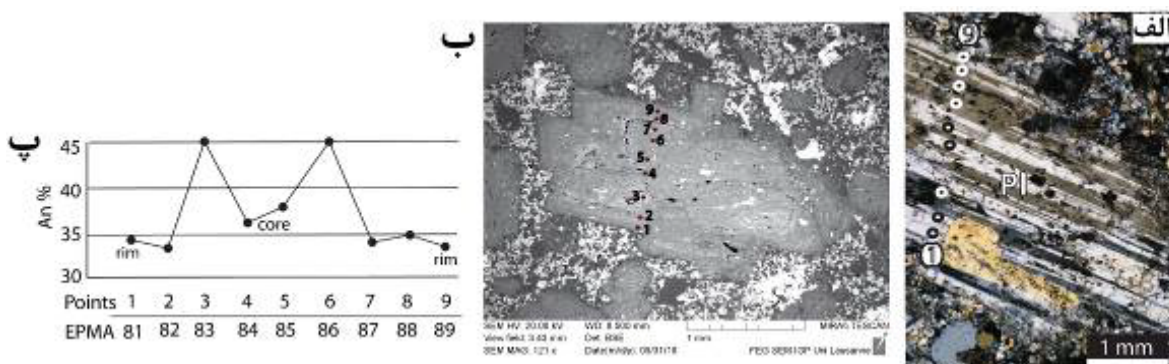
شکل ۹ الف: نمودار  $\text{Nb}/\text{Y}$  vs  $\text{Nb}$  [۳۲] که در آن، نسبت به  $\text{Nb}$  نسبت به  $\text{Ti/Zr}$  به نسبت افقی ولی نمونه‌های گرانودیوریتی و ریولیتی کاملاً شیدار و افزایشی جانمایی شده‌اند ب: نمودار  $\text{Nb}/\text{Zr}$  نسبت به  $\text{Nb}$  از [۳۳] که نشان‌دهنده روند به نسبت افقی دیوریت‌ها و روند افزایشی غیر افقی نمونه‌های گرانودیوریتی و ریولیتی است. ب: جانمایی نمونه‌ها در نمودار  $\text{Rb/Sr}$  نسبت به  $\text{Ti/Zr}$  و ث نمودارهای  $\text{Ce}$  و  $\text{Zr}$  در نمودارهای  $\text{Zr}$  (ج و چ) در نمودارهای  $\text{Rb/Sr}$  نسبت به  $\text{Rb}$  [۳۵] که نشان‌دهنده آمیختگی هستند. ج و چ) در نمودارهای  $\text{Zr}$  نسبت به  $\text{Ce}$  و  $\text{Zr}$  نسبت به  $\text{Y}$  پراکندگی نمونه‌ها که نیز نشان می‌دهد که عوامل مختلفی در دگرگونی مagma نقش داشته‌اند.



شکل ۱۰ الف) تصویر xPI میکروسکوپ قطبشی و ب) تصویر الکترون‌های پس پراکنده از مقاطع تجزیه شده با دستگاه EPMA در پلازیوکلاز دارای منطقه‌بندی. پ) نمودار درصد آنورتیت که در حدود ۲۵ است و در منطقه رشدی لبه به ۳۵ درصد می‌رسد در محل ۲۲ ( نقطه ۲)، همراه با آثار خوردگی، مقدار آنورتیت افزایش چشمگیری دارد.



شکل ۱۱ تصویر xPI میکروسکوپ قطبشی و ب) تصویر الکترون‌های پس پراکنده از مقاطع تجزیه شده با دستگاه EPMA در پلازیوکلاز دارای منطقه‌بندی. پ) نمودار درصد آنورتیت که فراوانی آنورتیت به صورت نوسانی است و در محل ۴ ( نقطه ۱۶) که تصویر میکروسکوپی منطقه تیره‌ای را نشان می‌دهد، افزایش می‌یابد.



شکل ۱۲ تصویر xPI میکروسکوپ قطبشی و ب) تصویر الکترون‌های پس پراکنده از مقاطع تجزیه شده با دستگاه EPMA در پلازیوکلاز دارای منطقه‌بندی. پ) نمودار درصد آنورتیت که درصد آنورتیت به صورت نوسانی دیده می‌شود و در نقاط ۳ و ۶ همراه با آثار خوردگی، افزایش آشکاری دیده می‌شود.

دانه ریز مافیک همسن با توده میزان هستند. از دیدگاه سنگ نگاری، برونبوم‌های توده گرانو-دیوریتی در گستره دیوریت-گابرو و دیوریت تا مونزو-دیوریت قرار دارند. کانی‌های پلازیوکلاز کلسیم‌دار، هورنبلند، زیرکن و کمی بیوتیت کانی‌های تشکیل دهنده اصلی بیشتر این برونبوم‌های ریزلور مافیک هستند.

برونبوم‌ها: بررسی نوع برونبوم‌ها نیز می‌تواند به درک شرایط آمیختگی کمک کند. براساس رده‌بندی برونبوم [۳۸]، برونبوم‌های توده گرانو-دیوریتی مورد بررسی، به دلیل شکل‌های تخم مرغی، لبه‌های مشخص، نداشتن قطعه‌های و کانی‌های دگرگونی، ریزدانه بودن و نبود لبه‌های واکنشی، از برونبوم‌های

بنیتا پوتلیتس، الکسی اولینوو و الیور رویی در دانشگاه لوزان سوئیس و در پایان از داوران محترم برای نظرات و داوری‌های گرانقدرشان سپاسگزاری می‌نمایند.

#### مراجع

- [1] Heidari SM., Mossavi Makooi SA., Mirzakhalian M., Rasoli F., Ghaderi M., Abadi AR., *A review of tectono-magmatic evolution and gold metallogeny in the inner parts of Zagros orogeny:a tectonic model for the major gold deposits,w Iran*, Eurasian Mining,1(2006) 3-20.
- [2] Hushmandzadeh A., Alavi-Naini M., Haghipour A., “*Geological evolution of Torud area with 1:250000 scale map of Torud*, Tehran, (1978), Geological Survey of Iran (in Persian).
- [3] Eshraghi S.A, Jalali A, “*Geological map of Moalleman*”, 1:100,000 ,Geological (2006), Survey of Iran.
- [4] Najjaran M., “*Geochemistry and genesis of Baghu turquoise deposit (Damghan)*”, M.Sc. Thesis, Shiraz University, Shiraz, Iran, (2000)150 pp, (in Persian).
- [5] Liaghat S., sheykhi V. and Najjaran M., “*Petrology, gheochemistry and genesis of Baghu turquoise, Damghan*”, Journal of Science, University of Tehran, (2008)133-142, (in Persian).
- [6] Ghorbani Gh., “*Petrology of magmatic rocks from south of Damghan*”, Unpublished Ph.D thesis in geology/petrology, Faculty of earth science, Shahid Beheshti University, (2005) 356 p
- [7] Ghorbani G., Vossoughi Abedini M., Ghasemi H., “*Geothermobarometry of granitoids from Torud-Chah shirin area (south Damghan)*”, Iranian Journal of Crystallography and Mineralogy 13-1 (2005) 95-106.
- [8] Ghorbani G., “*Chemical composition of minerals and genesis of mafic microgranular enclaves in intermediate - acidic plutonic rocks from Kuh -e- Zar area (southeast of Semnan)*”, Iranian Journal of Crystallography and Mineralogy 15-2 (2007) 293-310.
- [9] Emamjomeh A., Jahangiri A., Moazzen M., “*Geochemistry and geological setting of turquoise hosted intrusive bodies in Damghan (Baghou) turquoise-gold mine, Torud- Chah Shirin volcano-plutonic segment*”, Iranian Journal of Crystallography and Mineralogy (under published).
- [10] Aghanabati A., “*Geology of Iran*”, Geological survey of Iran, (2004), ISBN: 9646178138.
- [11] Khademi M., “*Structural characteristics and tectonic setting of Toroud area, south of*

مقدار کانی‌های مافیک بین ۴۰ تا ۵۰ درصد در تغییر است. آپاتیت‌های سوزنی کم و بیش در این برونویوم‌ها دیده می‌شوند. بیشتر هورنبلندها به کلریت دگرسان شده‌اند. بافت خال خال بافت شاخص برونویوم‌های مافیک منطقه بوده (شکل‌های ۳ پ و ۳) که بسیار شبیه به بافت نمونه ED108 است (شکل‌های ۳ الف و ب). بافت ریز دانه‌ای در بیشتر برونویوم‌ها دیده می‌شود. پژوهشگران بر این باورند که سوزنی بودن آپاتیت نشانه سرد شدن سریع ماقمای برونویوم و مشخصه آمیزش ماقمای است [۴۰-۳۸]. میانبارهای درشت‌بلور پلازیوکلاز و لبه‌های دندانه دار نیز شواهدی دیگر بر آمیختگی هستند. از طرفی، منطقه بندی بودن پلازیوکلازها و نبود کانی‌های دگرگونی آزرین بودن این برونویوم‌ها را قطعی می‌کند. پیشتر قربانی [۶] نیز با مقایسه ترکیب شیمیایی برونویوم‌های منطقه باغو و توده‌های گرانوودیوریتی نتیجه گرفته است که تغییر ترکیب بین این دو ماقمای تدریجی است و هر دوی این سنگ‌ها از جدایش ماقمای مافیک مشترکی شکل گرفته‌اند.

#### برداشت

بر اساس بررسی‌های صحرایی، سنگ نگاری و تحلیل نتایج تجزیه سنگ کل، توده گرانوودیوریتی، گنبد ریولیتی (میزان‌های فیروزه) و توده دیوریتی در معن فیروزه-طلای دامغان از خاستگاهی مشترک شکل گرفته و در پی صعود، دچار جدایش بلورین و آمیختگی شده‌اند. جدایش کانی‌های الیوین، زیرکن، پیروکسن، پلازیوکلاز-کلسیمی، هورنبلند و آپاتیت در تشکیل ماقمای گرانوودیوریتی و ریولیتی و آلایش پوسته‌ای در تشکیل گنبد ریولیتی نقش مهم‌تری داشته‌اند. بر پایه شواهد صحرایی، تحلیل داده‌های زمین شیمیایی سنگ کل (مقدادر  $Nb/Y$  و  $Nb/Zr$  نسبت به  $Ti/Zr$  نسبت به  $Rb/Sr$  و  $Sr/Zr$ )، آپاتیت‌های سوزنی و منطقه‌بندی معکوس و نوسانی در پلازیوکلازهای با منطقه‌بندی و نوع برونویوم‌های توده گرانوودیوریتی، احتمال آمیزش ماقمای گرانوودیوریتی و ماقمایی مافیک بسیار بالاست.

#### قدرتانی

نویسنده‌گان قدردان مدیر عامل شرکت طلای ایران، آقای نقشینه، دانشگاه تبریز و وزارت علوم، تحقیقات و فناوری برای تسهیل شرایط اعزام به فرصت مطالعاتی نویسنده اول به کشور سوئیس هستند. آن‌ها همچنین از دکتر لوکاس بومگارتنر به دلیل فراهم آوردن شرایط فرصت مطالعاتی نویسنده اول، از

- Cretaceous granodiorite and associated dioritic dikes in the Hongqilafu pluton, northwestern Tibetan Plateau:a case for crust-mantle interaction”, Lithos, 260 (2016) 300-314.*
- [23] Baxter S., Feely M., “*Magma mixing and mingling textures in granitoid: examples from the Galway granite, Connemara, Ireland*”, Mineralogy and Petrology, 76 (2002) 63-77.
- [24] Wilson M., “*Igneous petrogenetic*”, Chapman & Hall, (1989) 466p.
- [25] Henderson P., “*Inorganic geochemistry*”, Pergamon, Oxford,(1982) 353 p.
- [26] Rolinson H.R., “*Using geochemical data: Evaluation, presentation, interpretation*”, Longman Scientific and Technical, London (1993).
- [27] Janous̄ek V., Braithwaite C.J.R., Bowes D.R., Axel Gerdés A., “*Magma-mixing in the genesis of Hercynian calc-alkaline granitoids: an integrated petrographic and geochemical study of the Sa'zava intrusion, Central Bohemian Pluton, Czech Republic*”, Lithos 78 (2004) 67– 99.
- [28] Inger S., Harris N. B. W., “*Geochemical constraints on leucogranite magmatism in the Langtang Valley, Nepal Himalaya*”, Journal of Petrology,34 (1993) 345–368.
- [29] Davidson J., Turner S., Plank T., “*Dy/Dy\*: Variations Arising from Mantle Sources and Petrogenetic Processes*”, Journal of Petrology, 54(3), (2013) 525-535.
- [30] Jarrar G., Manton W.I., Stern R.J., Zachmann D., “*Late Neoproterozoic A-type granites in the northernmost Arabian-Nubian Shield formed by fractionation of basaltic melts*”, Chemie der Erde Gheochemistry (2006).
- [31] Chappell B.W., A.J.R. White, “*I- and S-type granites in the Lachlan Fold Belt*”, Earth Environ Sci Trans R Soc Edinb 83(1992) 1–26.
- [32] Pitcher W.S., “*The Nature and Origin of Granite*”, Springer Netherlands (1997).
- [33] Vernon R.H., “*Crystallization and hybridism in microgranitoid enclave magmas: microstructural evidence*”, J. Geophys. Res. 95 (1990) 17849 – 17859.
- [34] Treuil M., Joron J.L., “*Utilisation des éléments hygromag-matophiles pour la simplification de la modélisation quantitative des processus magmatiques. Exemples de l'Afar et de la Dorsale Medioatlantique. Rend. Soc*”, Ital. Mineral. Petrol. 31 -1, (1975) 125–174.
- [35] Singer B.S., Leeman W.P., Thirlwall M.F., Rogers N.W., “*Does Fracture Zone Subduction Increase Sediment Flux and Mantle Melting in Damghan*”, Unpublished Ph.D thesis in Tectonic, Shahid Beheshti University, Tehran, (2007) 209 pp.
- [12] Niroomand S., Hassanzadeh J., Tajeddin H.A., Asadi S., “*Hydrothermal evolution and isotope studies of the Baghu intrusion-related gold deposit, Semnan province, north central Iran*”, Ore Geology Reviews, (2018), doi: 10.1016/j.oregeorev.2018.01.015
- [13] Moradi S., Hassannejad A.K., Ghorbani G., “*Investigation of mineralogy and geothermometry of quartz and tourmaline veins at the Baghu area, southeast of Damghan*”, Iranian Journal of Crystallography and Mineralogy 24-4 (2017) 661-674, (in Persian).
- [14] Taghipour B., “*Tourmaline-turquoise paragenesis in the phyllitic alteration zone, copper, gold deposit, Kuh-Zar, South of Semnan*”, Iranian Journal of Crystallography and Mineralogy. 23-1(2015)3-14.
- [15] Whitney D.L., Evans B.W., “*Abbreviations for names of rock-forming minerals*”, American Mineralogist, 95, (2010) 185–187.
- [16] De la Roche H., Leterier J., Grandclaude P., Marchal M., “*classification of volcanic and plutonic rocks using R1R2-diagram and major-element analyses — Its relationships with current nomenclature*”, Chemical Geology, 29 (1980) 183—210.
- [17] Rouhbakhsh Iradi P., Karimpour M. H., Malekzadeh Shafaroudi A., “*Mineralization and fluid inclusion studies in the northern part of the Kuh Zar Au-Cu deposit, Damghan (Firuzeh-Gheychi area)*”, Iranian Journal of Crystallography and Mineralogy 26-3 (2018) 611-624.
- [18] Harker A., “*The natural history of igneous rocks*”, Methuen and Co. London (1909).
- [19] Sun S.S., McDonough W.F., “*Chemical and isotopic systematics of oceanic basalts: Implications for mantle composition and processes*”, Geological Society of London, No. 42-1 (1989) 313-345.
- [20] Rudnick R.L., Gao S., “*Composition of the continental crust: Treatise on Geochemistry*”, 3, (2003)1–64.
- [21] Taylor S.R., McLennan S.M., “*The Continental Crust: Its Composition and Evolution: An Examination of the Geochemical Record Preserved in Sedimentary Rocks*”, Oxford, Blackwell Scientific, (1985) 312 p.
- [22] Li J.Y., Niu Y.L., Hu Y., Chen S., Zhang Y., Duan M., Sun P., “*Origin of the late Early*

*Eastern Anatolia (Turkey): Implications for magma evolution in extension-related origin*”, Lithos, 296/299 (2018), 332-351.

[38] Didier J., Barbarin B., “The different types of enclaves in granites—nomenclature. In: Didier, J., Barbarin, B. (Eds.), *Enclaves and Granite Petrology*”, Elsevier, Amsterdam, (1991)19 – 24.

[39] Vernon R.H., „*Microgranitoid enclaves in granites—globules of hybrid magma quenched in a plutonic environment*“, Nature 309, (1984) 438 – 439.

[40] Reid J.B., Evans J.O .C., Fates D.G., “*Magma mixing in granitic rocks of the central Sierra Nevada, California*“, Earth and Planetary Science Letters, 66 (1983) 243-261.

*Subduction Zones? Trace Element Evidence from Aleutian Arc Basalt”* In book: Subduction Top to Bottom Edition: Monograph 96 Publisher: American Geophysical Union Editors: G.E. Bebout, D. Scholl, S. Kirby, J.P. Platt (1996).

[36] Karsli O., Chen B., Aydin F., Sen C., “*Geochemical and Sr–Nd–Pb isotopic compositions of the Eocene Dölek and Sarıçık Plutons, Eastern Turkey: Implications for magma interaction in the genesis of high-K calc-alkaline granitoids in a post-collision extensional setting*”, Lithos, 98 -1-4, (2007)67-96.

[37] Kaygusuz A., Aslan Z., Aydinçakır E., Yücel C., Gücer M.A., Şen C., “*Geochemical and Sr-Nd-Pb isotope characteristics of the Miocene to Pliocene volcanic rocks from the Kandilli area*,